

**ANALISA DAYA DUKUNG DAN STABILITAS PONDASI BOREPILE  
TOWER TRANSMISI T.7 PADA PROYEK SUTT 150kV  
GI SORONG – GI RUFY**



**IVAN YOSEFWAN NAIBAHO**  
**NIM : 1916001**

**JURUSAN TEKNIK SIPIL  
POLITEKNIK KATOLIK SAINT PAUL  
SORONG  
2020**

**ANALISA DAYA DUKUNG DAN STABILITAS  
PONDASI BOREPILE TOWER TRANSMISI T.7  
PADA PROYEK SUTT 150kV GI SORONG – GI RUFNEY**

**IVAN YOSEFWAN NAIBAHO A.Md.  
NIM : 1916001**

**Dosen Pembimbing :**

**IMAM TRIANGGORO SAPUTRO, ST,MT**

**ABSTRAK**

Pondasi dalam (*Deep Foundation*) merupakan suatu konstruksi bagian paling bawah yang berhubungan langsung dengan tanah. Pada tower transmisi, pondasi berfungsi untuk memikul beban konstruksi tower. Sehingga untuk menghasilkan tower yang aman, pondasi harus direncanakan dan diperhitungkan dengan baik sesuai kondisi tanah di lokasi rencana pembangunan tower, demikian juga dalam pekerjaan konstruksinya harus disupervisi dengan baik. Metodologi pengumpulan data adalah dengan metode observasi data dari kontraktor pelaksana, owner proyek dan melakukan studi literatur terkait. Hasil dari penelitian ini adalah menganalisa perhitungan daya dukung dan stabilitas tiang pondasi bored pile aman terhadap uplift terhadap pondasi bored pile menggunakan metode Guy Sangrelat dan Mayerhoff, dan menghitung efisiensi kelompok tiang menggunakan rumus Converse – Labbare. Hasil Analisa perhitungan terhadap data tanah dan desain perencanaan pondasi tower transmisi ditemukan bahwa daya dukung rencana tiang bored pile yang telah dilakukan lebih besar dari daya dukung rencana, maka daya dukung dan stabilitas pondasi bored pile yang di Analisa memenuhi syarat-syarat yang diijinkan dan dapat dikatakan aman terhadap uplift.

**Kata kunci :** *Daya dukung dan Stabilitasi Pondasi Bored pile, Pondasi Tower Transmisi*

## **KATA PENGANTAR**

Segala puji dan syukur kehadirat Tuhan Yang Maha Esa atas berkat dan rahmatNya sehingga penulisan ini dapat diselesaikan dengan baik, sebagaimana merupakan mata kuliah yang sedang diambil dalam semester akhir ini. Pembuatan Tugas Akhir ini adalah salah satu syarat kelulusan mata kuliahnya dan juga sebagai salah satu syarat memperoleh gelar akademik di Politeknik Katolik Saint Paul Sorong.

Dalam penyusunan Tugas Akhir ini penulis dapat melaluiinya berkat adanya bimbingan dan bantuan dari berbagai pihak. Untuk itu pada kesempatan ini penulis menyampaikan ucapan terimakasih kepada :

1. Bapak Ir. Johanes Ohoiwutun, MT. selaku Direktur Politeknik Katolik Saint Paul
2. Bapak Yusverison Andika, ST.,MT. selaku Ketua Jurusan Teknik Sipil Politeknik Katolik Saint Paul Sorong
3. Bapak Imam Trianggoro Saputro, ST.,MT. selaku Dosen Pembimbing penulis dari awal
4. Bapak Johannes Eudes Ola, ST.,MT. selaku Dosen yang selalu memberikan masukan selama penulis menempuh Pendidikan Ahli Jenjang di Politeknik Katolik Saint Paul
5. Keluarga Besar PLN Unit Pelaksana Proyek Pembangkit dan Jaringan Papua Barat yang membantu dalam pengumpulan data penelitian
6. Kedua orang tua dan saudara penulis yang selalu memberikan nasehat dan dukungan dalam menyelesaikan tugas akhir ini.

Demikian tugas akhir ini disusun, penulis menyadari bahwa penyusunan tugas akhir ini masih banyak kekurangan oleh karena itu penulis mengharapkan saran dari semua pihak guna penyempurnaan dalam penulisan tugas akhir ini.

Sorong, 19 Desember 2020

Ivan Yosefwan Naibaho A.Md

## DAFTAR ISI

	<b>Halaman</b>
HALAMAN JUDUL .....	i
HALAMAN PENGESAHAN.....	ii
ABSTRAK.....	iii
KATA PENGANTAR .....	iv
DAFTAR ISI .....	v
DAFTAR NOTASI .....	viii
DAFTAR TABEL.....	x
DAFTAR GRAFIK dan GAMBAR .....	xi
<b>BAB I PENDAHULUAN .....</b>	<b>1</b>
1.1 Latar Belakang.....	1
1.2 Rumusan Masalah .....	2
1.3 Batasan Masalah .....	2
1.4 Batasan Masalah .....	2
1.5 Tujuan Penelitian .....	2
1.6 Sitematika Laporan Tugas Akhir .....	3
<b>BAB II LANDASAN TEORI .....</b>	<b>4</b>
2.1 Teori Umum .....	4
2.2 Tanah .....	5
2.3 Pondasi Dalam .....	6
2.4 Pondasi Bored Pile.....	6
2.5 Gaya Uplift Bored Pile .....	7
2.6 Kapasitas daya dukung ijin tekan dengan data sondir .....	9

2.7	Stabilitas tiang tarik dengan data sondir .....	9
2.8	Efisiensi Kelompok Tiang .....	10
2.8.1	Jumlah tiang .....	10
2.8.2	Jarak tiang.....	10
2.8.3	Susunan tiang .....	11
2.8.4	Efisiensi kelompok tiang.....	13
2.8.5	Gaya tekan dan gaya tarik tiang .....	14
2.9	Faktor Keamanan.....	14
2.10	Transmisi Tower Tenaga Listrik.....	16
2.10.1	Transmisi tower.....	16
2.10.2	Jenis-jenis menara/tower listrik.....	16
<b>BAB III</b>	<b>METODOLOGI PENELITIAN.....</b>	<b>21</b>
3.1	Data Umum.....	21
3.2	Struktur Pondasi.....	22
3.3	Data Teknis bored pile .....	24
3.4	Data teknis konstruksi tower.....	24
3.5	Metode pengumpulan data .....	25
3.6	Data Sondir .....	23
3.6.1	Lokasi Sondir .....	25
3.6.2	Tabel dan Grafik Sondir.....	27
3.7	Flowchart Penelitian .....	31
<b>BAB IV</b>	<b>PEMBAHASAN .....</b>	<b>30</b>
4.1	Analisa Perhitungan Pondasi Bored Pile .....	30
4.1.1	Data Gambar Rencana .....	30
4.1.2	Perhitungan Data Sondir .....	31
4.1.3	Data Support Reaction Tower DD6+12 .....	32

4.1.4 Spesifikasi Material .....	32
4.1.5 Dimensi Pondasi .....	32
4.1.6 Data Desain Pondasi .....	33
4.2 Perhitungan Daya Dukung Tiang .....	34
4.3 Check Stabilitas Tiang .....	35
4.4 Efisiensi Kelompok Tiang .....	36
4.5 Perhitungan Gaya Tekan dan Gaya Tarik Tiang .....	37
4.6 Keamanan Pondasi Bored Pile terhadap Uplift .....	38
4.6.1 Berat yang menahan gaya Uplift .....	38
4.6.2 Kontrol Geser 1 Arah .....	39
4.6.3 Kontrol Geser 2 Arah (Geser Pons) .....	40
a. Kontrol geser 2 arah disekitar kolom .....	40
b. Kontrol geser 2 arah disekitar bored pile .....	42
4.6.4 Perhitungan Tulangan .....	43
a. Perhitungan tulangan tiang .....	43
b. Perhitungan tulangan pad .....	45
c. Perhitungan tulangan chimney .....	47
<b>Bab V PENUTUP.....</b>	<b>50</b>
5.1 Kesimpulan .....	51
5.2 Saran .....	52
<b>DAFTAR PUSTAKA .....</b>	<b>53</b>

## DAFTAR NOTASI

qc	: tekanan <i>conus</i>
fs	: hambatan pelekat <i>friction</i>
K	: mutu beton dengan perhitungan kuat tekan kg/m <sup>2</sup>
fc'	: mutu beton dengan perhitungan kuat tekan megapascal N/mm <sup>2</sup>
fy	: tegangan leleh tulangan ulir/ <i>deform</i>
fy'	: tegangan leleh tulangan polos
BJ <sub>b</sub>	: berat jenis beton
BJ <sub>s</sub>	: berat jenis soil/tanah
H	: tinggi pondasi ( <i>pad dan chimney</i> )
H1	: tinggi pad/pedestal
H2	: tinggi muka tanah/timbunan
H3	: tinggi chimney yang muncul dari muka tanah
Hp1	: panjang bored pile
Qp	: jumlah pile
S1/2	: jarak antar pile
m	: jarak tiang horizontal
n	: jumlah tiang arah vertikal
V <sub>p</sub>	: volume pedestal
V <sub>k</sub>	: volume kolom
V <sub>b</sub>	: volume boredpile
V <sub>t</sub>	: volume total pondasi
W <sub>c</sub>	: berat pondasi / <i>weight concrete</i>
V <sub>s</sub>	: volume tanah / <i>volume soil</i>
W <sub>s</sub>	: berat tanah / <i>weight soil</i>
P <sub>ptk</sub>	: daya dukung ijin tekan pile tunggal
P <sub>ta</sub>	: daya dukung ijin tarik pile tunggal
Tf	: total nilai hambatan lekat / <i>friction</i>
C <sub>p</sub>	: keliling selimut tiang
A <sub>p</sub>	: luas penampang tiang
FK	: faktor keamanan
Eg	: efisiensi <i>group/kelompok tiang</i>
D	: diameter pile
F <sub>yc</sub>	: tekanan geser longitudinal

- $F_{xc}$  : tekanan geser transversal  
 $E_c$  : tekanan aksial  
 $P_{maks}$  : beban maksimum tiang  
 $M_{X/Y}$  : Momen  
 $\Sigma_{X/Y}$  : jumlah kuadrat absis tiang  
 $e$  : patahan pada kaki pondasi akibat dibebani/ *eksentris*  
 $P_e$  : besaran gaya pada kaki pondasi  
 $V_u$  : gaya geser akibat beban terfaktor *ultimate*  
 $V_c$  : gaya geser akibat beban beton *concrete*  
 $A_s$  : luas tulangan  
 $L_s$  : luas penampang kritis dari atas pondasi

## **DAFTAR TABEL**

	<b>Halaman</b>
Tabel 3.1 Tabel Hasil Sondir T.7 SUTT Sorong – Rufey (Titik 1) .....	25
Tabel 3.2 Tabel Hasil Sondir T.7 SUTT Sorong – Rufey (Titik 2).....	27
Tabel 4.1 Tabel Perhitungan Sondir menurut Guy Sangrelat .....	31

## DAFTAR GAMBAR DAN GRAFIK

	<b>Halaman</b>
Gambar 2.1 Diagram fase tanah (Das, 1995) .....	5
Gambar 2.2 Jenis-jenis bored pile (Braja M. Das, 1941) .....	7
Gambar 2.3 Gaya angkat atau uplift .....	8
Gambar 2.4 Definisi Jarak S dalam hitungan efisiensi tiang .....	11
Gambar 2.5 Gambar Pola-pola kelompok tiang .....	12
Gambar 2.6 Daerah friction pada kelompok tiang (tampak samping) .....	12
Gambar 2.7 Daerah friction pada kelompok tiang (tampak atas ) .....	13
Gambar 2.8 Jenis Menara tower : Lattice tower .....	17
Gambar 2.9 Jenis Menara tower : Steel Pole .....	17
Gambar 2.10 Jenis Menara tower : Concrete Pole.....	17
Gambar 2.11 Jenis Menara tower : Wodden Pole .....	17
Gambar 2.12 Jenis Menara tower : Tower 2 Sirkit Suspension dan Tension .	18
Gambar 2.13 Jenis Menara tower : Tower 4 Sikrit Suspension dan Tension .	18
Gambar 2.14 Potongan Pondasi Bored Pile dan Stub Tower .....	19
Gambar 3.1 Layout Proyek Pembangunan Tower 150kV Sorong .....	20
Gambar 3.2 Denah Bored Pile .....	20
Gambar 3.3 Potongan Bored Pile .....	20
Gambar 3.5 Lokasi Sondir T.7 .....	23
Gambar 3.5 Dokumentasi Penyelidikan Tanah .....	24
Grafik 3.1 Hasil Sondir T.7 SUTT Sorong – Rufey (Titik 1) .....	26
Grafik 3.1 Hasil Sondir T.7 SUTT Sorong – Rufey (Titik 2) .....	28

# **BAB I**

## **PENDAHULUAN**

### **1.1. Latar Belakang**

Pondasi dalam (*Deep Foundation*) suatu konstruksi merupakan bagian paling bawah yang berhubungan langsung dengan tanah. Pada tower transmisi, pondasi berfungsi untuk memikul beban konstruksi tower. Untuk menghasilkan tower yang aman, pondasi harus direncanakan dan dikerjakan dengan sangat hati-hati. Pondasi harus diperhitungkan dengan baik sesuai kondisi tanah di lokasi rencana pembangunan tower. Setiap pondasi bangunan tower perlu direncanakan berdasarkan jenis, kekuatan dan daya dukung tanah tempat berdirinya. Apabila tanah yang stabil dan memiliki daya dukung baik, maka pondasinya juga membutuhkan konstruksi yang sederhana. Jika tanahnya berlapis dan memiliki daya dukung buruk, maka pondasinya juga harus lebih kompleks. Dalam mendesain pondasi harus mempertimbangkan daya dukung tanah.

Karena terbatasnya cara pengujian dilapangan, penyelidikan tanah yang digunakan adalah uji sondir (CPT) untuk penyelidikan tanah yang bertujuan mengetahui perlawanan penetrasi konus dan hambatan lekat tanah yang merupakan indikasi dari kekuatan dukung lapisan tanah dengan menggunakan rumus empiris. Adapun tujuan dari penelitian ini adalah untuk mengetahui daya dukung dan *stabilitas* pondasi *bored pile* pada tower.

Dari kasus di atas, penulis tertarik untuk menjadikan bahan penulisan dari Tugas Akhir yang berjudul “Analisa Daya Dukung dan Stabilitas Pondasi Bored Pile Tower T.7 Pada Proyek SUTT 150kV GI Sorong – GI Rufey ”. Tugas Akhir ini bertujuan untuk menganalisa perhitungan daya dukung dan stabilitas pondasi tower berdasarkan dari hasil Uji Sondir lapangan.

## **1.2 Rumusan Masalah**

Berdasarkan latar belakang masalah yang ada, permasalahan yang akan di bahas pada penelitian ini adalah apakah daya dukung dan Stabilitas tiang pondasi Bored Pile aman pada Tower T.7 SUTT 150kV GI Sorong – GI Rufey terhadap uplift berdasarkan data Penyelidikan Tanah Sondir?

## **1.3 Batasan Masalah**

Adapun pembatasan masalah dari penelitian ini adalah :

1. Daya dukung pondasi dihitung berdasarkan metode Guy Sangrelat & Mayerhof
2. Perhitungan efisiensi kelompok tiang menggunakan rumus Converse-Labbarre

## **1.4 Tujuan Penelitian**

Adapun tujuan penelitian yaitu Menganalisa daya dukung dan stabilitas tiang pondasi borepile aman terhadap uplift.

## **1.5 Manfaat Penelitian**

Manfaat adanya penelitian ini adalah :

1. Hasil penelitian ini diharapkan mampu memberikan tambahan pengetahuan dan dapat menjadi bahan referensi khususnya mengenai Daya Dukung dan Stabilitas Pondasi Bored Pile Tower T.7 Pada Proyek SUTT 150kV GI Sorong – GI Rufey
2. Menambah wawasan dan pengetahuan mahasiswa dibidang Daya Dukung dan Stabilitas Pondasi Bored Pile Pondasi pada Tower T.7 Pada Proyek SUTT 150kV GI Sorong – GI Rufey, Provinsi Papua Barat.
3. Menambah wawasan dan pengetahuan mahasiswa karena Tower Transmisi ini merupakan yang pertama di lingkungan Provinsi Papua Barat

## **1.6 Sistematika Laporan Tugas akhir**

Untuk dapat memperoleh penulisan yang sistematis dan terarah maka alur penulisan tugas akhir ini akan dibagi dalam lima bagian Bab dengan perincian sebagai berikut :

### **BAB I PENDAHULUAN**

Berisikan tentang latar belakang, rumusan masalah, batasan masalah, tujuan penelitian, manfaat penelitian, dan sistematika laporan tugas akhir.

### **BAB II LANDASAN TEORI**

Berisikan teori-teori yang relevan terhadap penelitian yang dilakukan.

### **BAB III METODOLOGI PENELITIAN**

Membahas mengenai tahapan-tahapan dalam melakukan penelitian atau perencanaan dan proses penjelasan penelitian.

### **BAB IV PEMBAHASAN**

Bab ini membahas tentang analisis data yang didapat dari penelitian untuk memperoleh hasil yang akan di bahas pada kesimpulan.

### **BAB V PENUTUP**

Untuk bab ini membahas tentang hasil akhir yang akan dicapai penulis dengan memberi kesimpulan yang dapat ditarik dari pembahasan. Kemudian disampaikan saran-saran yang merupakan pendapat penulis terhadap penelitian yang dilakukan.

## BAB II

### LANDASAN TEORI

#### 2.1 Teori Umum

Pondasi ialah bagian dari suatu sistem rekayasa yang meneruskan beban yang ditopang oleh pondasi dan beratnya sendiri kepada dan ke dalam tanah dan batuan yang terletak di bawahnya (Bowles, 1997). Suatu perencanaan pondasi dikatakan benar apabila beban yang diteruskan oleh pondasi ke tanah tidak melampaui kekuatan tanah yang bersangkutan (Das, 1995).

Dalam menentukan perencanaan pondasi suatu bangunan ada dua hal yang harus diperhatikan pada tanah yang ada di bawah pondasi, yaitu:

1. Daya dukung pondasi yang direncanakan harus lebih besar dari pada beban yang bekerja pada pondasi tersebut baik beban statik maupun beban dinamiknya.
2. Penurunan yang terjadi akibat pembebahan tidak boleh melebihi penurunan yang diijinkan.

Banyak faktor dalam pemilihan jenis pondasi, faktor tersebut antara lain beban yang direncanakan bekerja, jenis lapisan tanah dan faktor non-teknis seperti biaya konstruksi, waktu konstruksi,. Pemilihan jenis pondasi yang digunakan sangat berpengaruh kepada keamanan struktur yang berada di atas pondasi tersebut. Jenis pondasi yang dipilih harus mampu menjamin kedudukan struktur terhadap semua gaya yang bekerja. Selain itu, tanah pendukungnya harus mempunyai kapasitas daya dukung yang cukup untuk memikul beban yang bekerja sehingga tidak terjadi keruntuhan.

Pondasi dibedakan atas dua jenis, yaitu pondasi dangkal (*shallow foundation*) dan pondasi dalam (*deep foundation*). Pondasi dangkal digunakan apabila lapisan tanah keras terletak tidak jauh dari permukaan tanahnya. Pondasi dangkal didesain dengan kedalaman lebih kecil atau sama dengan lebar dari pondasi tersebut. Sedangkan pondasi dalam digunakan apabila lapisan tanah kerasnya terletak jauh dari permukaan tanah. Pondasi dalam didesain dengan kedalaman lebih besar atau sama dengan lebar dari pondasi tersebut.

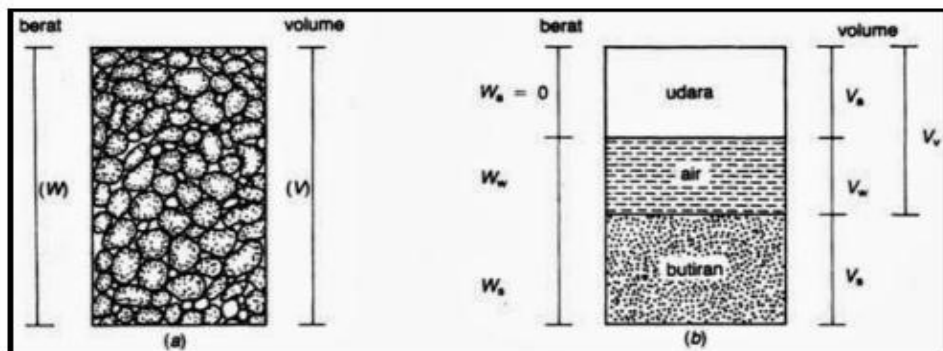
Di era perkembangan zaman yang semakin modern ini penggunaan pondasi *bored pile* semakin banyak karena beberapa alasan. Oleh sebab itu sangat menarik untuk meninjau perkembangan berbagai pemakaiannya dan pelaksanaan konstruksi jenis pondasi dalam ini, namun demikian pengalaman menunjukkan bahwa pada setiap pekerjaan pondasi *bored pile* muncul masalah-masalah spesifik dengan kondisi yang berbeda menyangkut segi pelaksanaan konstruksi maupun hal-hal yang menyangkut daya dukung tanah di lokasi proyek. Dalam pemilihan pondasi sangat dibutuhkan pengetahuan tentang jenis tanah, daya dukung dan penurunan yang akan ditimbulkan dalam batas aman, pengendalian mutu menjadi salah satu kunci penting keberhasilan pondasi *bored pile*.

## 2.2 Tanah

Tanah adalah materi utama yang menerima sepenuhnya penyaluran beban yang ditimbulkan akibat konstruksi bangunan yang dibuat diatasnya. Tanah yang ada di permukaan bumi mempunyai karakteristik dan sifat yang berbeda-beda, sehingga hal ini merupakan suatu tantangan bagi perekayasa konstruksi untuk memahami perilaku tanah yang dihadapi dalam perencanaan konstruksi dengan jalan melakukan penyelidikan dan penelitian terhadap sifat-sifat yang dimiliki tanah yang tentunya hasilnya tidak mutlak, tepat dan benar. Akan tetapi paling tidak kita dapat melakukan pendekatan secara teknis yang dapat dipertanggungjawabkan akurasinya dalam perencanaan konstruksi.

Tanah terdiri dari tiga komponen yaitu air, udara, dan bahan padat. Udara dianggap tidak mempunyai pengaruh teknis sedangkan air sangat mempengaruhi sifat – sifat teknis tanah. Ruang diantara butiran-butiran sebagian atau seluruhnya dapat terisi oleh air atau udara. Bila rongga terisi oleh air seluruhnya tanah dikatakan dalam kondisi jenuh. Sedangkan bila rongga terisi air dan udara tanah pada kondisi jenuh sebagian (*partially saturated*).

Komponen tanah tersebut akan diperjelas pada Gambar 2.1 Diagram Fase Tanah (Das, 1995), Sumber ; Pedoman Konstruksi dan Bangunan No. 003-01/BM/2006 PU halaman 18-100



### **2.3 Pondasi Dalam (*Deep Foundation*)**

Merupakan pondasi yang dipergunakan untuk meneruskan beban kelapisan tanah yang mampu memikulnya dan letaknya cukup dalam. Menurut “Bowles (1997)”, sebuah pondasi harus mampu memenuhi beberapa persyaratan stabilitas dan deformasi, seperti :

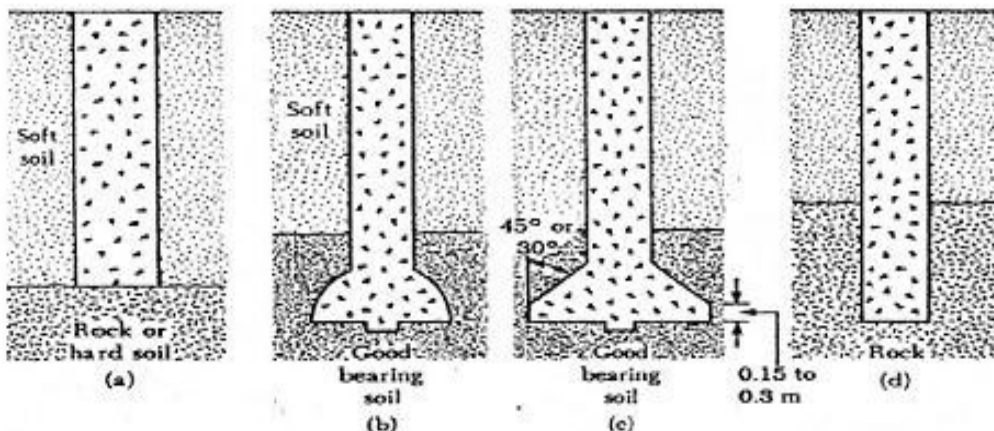
- a. Kedalaman harus memadai untuk menghindarkan pergerakan tanah lateral dari bawah pondasi khusus untuk pondasi tapak dan pondasi rakit.
- b. Kedalaman harus berada di bawah daerah perubahan volume musiman yang disebabkan oleh pembekuan, pencairan dan pertumbuhan tanaman.
- c. Sistem harus aman terhadap penggulingan, rotasi atau pergeseran tanah.
- d. Sistem harus aman terhadap korosi atau kerusakan yang disebabkan oleh bahan berbahaya yang terdapat di dalam tanah.
- e. Sistem harus cukup mampu beradaptasi terhadap beberapa perubahan geometri konstruksi atau lapangan selama proses pelaksanaan dan mudah dimodifikasi seandainya perubahan perlu dilakukan.
- f. Metode pemasangan pondasi harus seekonomis mungkin.
- g. Pergerakan tanah keseluruhan (umumnya penurunan) dan pergerakan diferensial harus dapat ditolerir oleh elemen pondasi dan elemen bangunan atas.
- h. Pondasi dan konstruksinya harus memenuhi syarat standar untuk perlindungan lingkungan.

### **2.4 Pondasi Bored Pile**

Bored pile dipasang ke dalam tanah dengan cara mengebor tanah terlebih dahulu, baru kemudian diisi tulangan dan dicor beton. Tiang ini biasanya, dipakai pada tanah yang stabil dan kaku, sehingga memungkinkan untuk membentuk lubang yang stabil dengan alat bor. Jika tanah mengandung air, pipa besi dibutuhkan untuk menahan dinding lubang dan pipa ini ditarik ke atas pada waktu pengecoran beton. Pada tanah yang keras atau batuan lunak, dasar tiang dapat dibesarkan untuk menambah tahanan dukung ujung tiang (Gambar 2.2).

Ada berbagai jenis pondasi bored pile yaitu:

1. Bored pile lurus untuk tanah keras
2. Bored pile yang ujungnya diperbesar berbentuk bel
3. Bored pile yang ujungnya diperbesar berbentuk trapezium
4. Bored pile lurus untuk tanah berbatu-batuhan



Gambar 2.2 Jenis-jenis Bored pile (*Braja M. Das, 1941*)

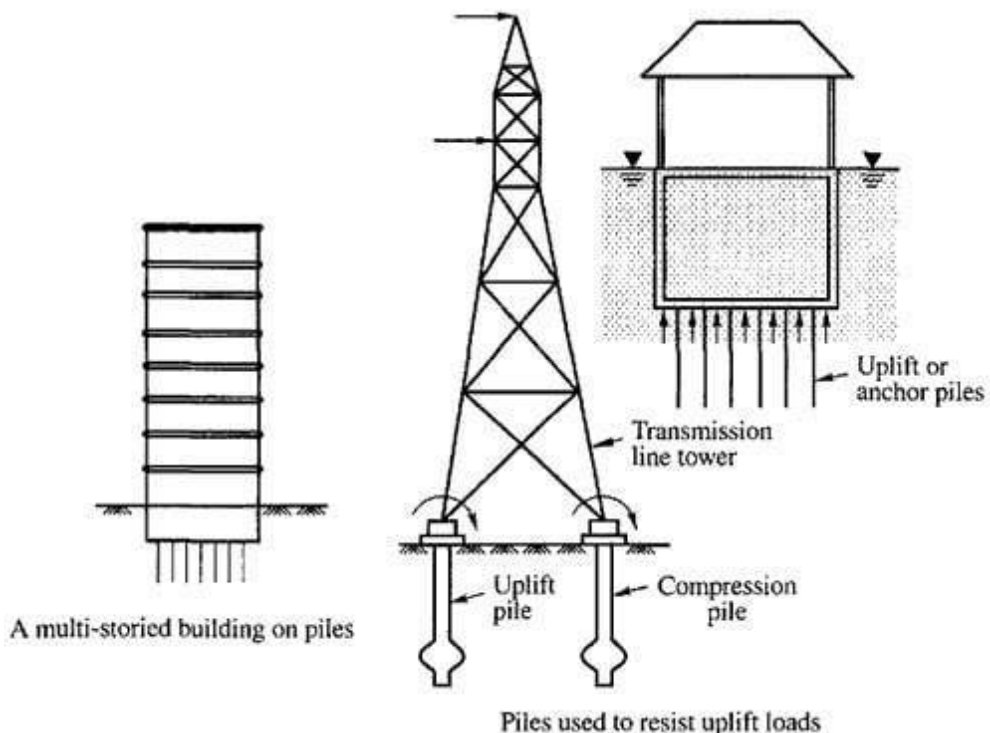
## 2.5 Gaya Uplift Bored Pile

Pondasi dalam yang dibangun untuk menahan gaya angkat disebut Tension Piles atau Uplift Piles . Ini juga disebut sebagai tiang angkat atau tiang jangkar. Di area di mana ada kemungkinan ekstraksi tumpukan dari tanah, tiang pengangkat akan bekerja dengan baik.

Pondasi secara luas diklasifikasikan sebagai pondasi dalam dan dangkal berdasarkan daya dukung beban dan sifat tanah di lokasi. Jenis yang paling banyak digunakan - Pondasi tiang, berada di bawah kategori pondasi dalam.

Setiap struktur pondasi yang memiliki kedalaman lebih dari tiga kali lebar struktur dapat dikategorikan sebagai pondasi tiang pancang atau bored pile. Pondasi tiang membentuk struktur ramping dan berbentuk kolom yang dimaksudkan untuk mentransfer beban tekan terutama dari bangunan atas yang besar. Media pemindahan di bawah dapat berupa tanah lemah atau lapisan yang dapat dikompres atau struktur seperti lapisan batuan yang kuat.

Alasan berbeda untuk pengembangan gaya angkat adalah: gaya seismik atau beban angin, momen terbalik, tekanan hidrostatis. Gaya-gaya ini diharapkan dalam konstruksi bangunan besar seperti menara transmisi tower, dermaga, bangunan tinggi, cerobong asap, dermaga dan lain-lain seperti pada Gambar 2.3. Sebagian besar konstruksi bangunan besar mengalami beban angin yang lebih tinggi atau gaya seismik yang menyebabkan momen terbalik yang pada gilirannya mengakibatkan pengangkatan atau uplift. Gaya pengangkatan dapat berkembang karena tekanan hidrostatik, aktivitas seismik, atau momen terbalik.



Gambar 2.3 Gaya angkat atau uplift (Sumber : <https://theconstructor.org/>)

Ketika struktur mengalami terbalik, salah satu ujungnya mengalami kompresi dan gaya tegangan lainnya. Gaya-gaya ini harus disalurkan dengan aman ke tanah dengan bantuan pondasi (bored pile) yang dibangun. Ini akan mencegah pengangkatan yang disebabkan.

Konstruksi tiang tegangan mentransfer gaya angkat ini secara aman dengan gesekan sepanjang tiang yang diperoleh dengan *under-reaming*. Tumpukan tegangan menggunakan dinding tiang pancang untuk menahan gaya horizontal jika ada.

Pondasi dalam bored pile vertikal yang dipasang untuk memenuhi tujuan harus memiliki kedalaman yang cukup yang merupakan faktor utama yang mengakibatkan gesekan poros untuk menahan gaya angkat. Modifikasi yang berbeda pada tiang dapat mengurangi gaya angkat secara luas.

Ketahanan Uplift dari Piles dan Tension Piles disarankan untuk memiliki tiang bored pile yang panjang untuk mengambil beban angkat pada gesekan poros. Dalam beberapa situasi, mungkin sulit untuk memasukkan kedalaman yang panjang karena adanya lapisan batuan keras di bawah tanah. Jadi, untuk memobilisasi tahanan gesek yang tersisa harus ditambah

dengan penambahan bobot mati ke tiang. Ini akan membantu mengatasi gaya angkat. Solusi lain untuk masalah ini adalah penahan tiang ke lapisan batuan.

## 2.6 Kapasitas daya dukung ijin tekan dengan data sondir

Sondir ini tes yang sangat cepat, sederhana, ekonomis dan tes tersebut dapat dipercaya dilapangan dengan pengukuran terus-menerus dari permukaan tanah-tanah dasar.CPT atau sondir ini dapat juga mengklasifikasi lapisan tanah dan dapat memperkirakan kekuatan dan karakteristik dari tanah. Didalam perencanaan pondasi data tanah sangat diperlukan dalam merencanakan kapasitas daya dukung (*bearing capacity*) dari tiang ijin tekan pile konus/rout sebelum pembangunan dimulai, guna menentukan kapasitas daya dukung ultimit dari mata konus.

Untuk menghitung daya dukung ijin tekan pile berdasarkan data hasil pengujian sondir dapat dilakukan dengan menggunakan metode Guy Sangrelat dengan persamaan sebagai berikut :

$$P_{tk} = \frac{q_c \times A_p}{FK1} + \frac{T_f \times C_p}{FK2} \quad \dots \dots \dots (2.1)$$

Dimana :

- $P_{tk}$  : daya dukung ijin tekan pile tunggal
- $q_c$  : Nilai konus 8D diatas ujung tiang 4D dibawah ujung tiang
- $T_f$  : nilai total friction
- $A_p$  : luas penampang tiang,  $(1/4 \pi D^2)$
- $C_p$  : keliling selimut tiang,  $(2\pi r)$
- $FK1$  : faktor keamanan 3
- $FK2$  : faktor keamanan 5

## 2.7 Stabilitas tiang tarik dengan data sondir

Untuk menghitung stabilitas tiang tarik berdasarkan data hasil pengujian sondir dapat dilakukan dengan menggunakan metode Guy Sangrelat dan Mayerhof dengan persamaan sebagai berikut :

$$P_{pile tarik} = \frac{(T_f \times C_p \times 0.7)}{FK2} + W_p \quad \dots \dots \dots (2.2)$$

Dimana :

- $P_{pile Tarik}$  : daya dukung ijin tarik pile tunggal

Tf	: nilai total friction
Cp	: keliling selimut tiang
FK2	: factor keamanan = 5
Wc	: Berat Beton/Pondasi = Vol. total pondasi x BJ beton (24.00kN/m <sup>3</sup> )
Hp1	: panjang pile efektif
Wp	: berat 1 tiang pile     = $\frac{1}{4} \cdot \pi \cdot D^2 \cdot H_{p1} \cdot B_J_{\text{beton}}$
Qp	: Jumlah pile

## 2.8 Efisiensi kelompok tiang

Untuk menahan beban diatasnya yang terlalu besar bore piled tunggal jarang sekali digunakan, untuk sebab itu tiang-tiang tunggal disatukan dalam satu kepala (*Pile Cap*). Daya dukung kelompok tiang sangat bergantung pada penentuan bentuk pola dari susunan bore piled kelompok dan jarak antara satu tiang dengan tiang lainnya, karena jarak yang memadai membuat reduksi akan beban menjadi tumpang tindih. Bila beberapa bore piled dikelompokkan, maka intensitas tekanan bergantung pada beban dan jarak antar bore piled yang jika cukup besar sering kali tidak praktis karena pile cap di cor di atas kelompok bore piled (*Pile Group*) sebagai dasar kolom untuk menyebarkan beban pada beberapa bore piled dalam kelompok tersebut.

### 2.8.1 Jumlah Tiang (n)

Untuk menentukan jumlah tiang yang akan dipasang didasarkan beban yang bekerja pada fondasi dan kapasitas dukung ijin tiang, maka rumus yang dipakai adalah sebagai berikut ini.

$$n = P/Q_a \quad \dots\dots\dots(2.3)$$

Dengan :

P : Beban yang berkerja

Qa : Kapasitas dukung ijin tiang tunggal

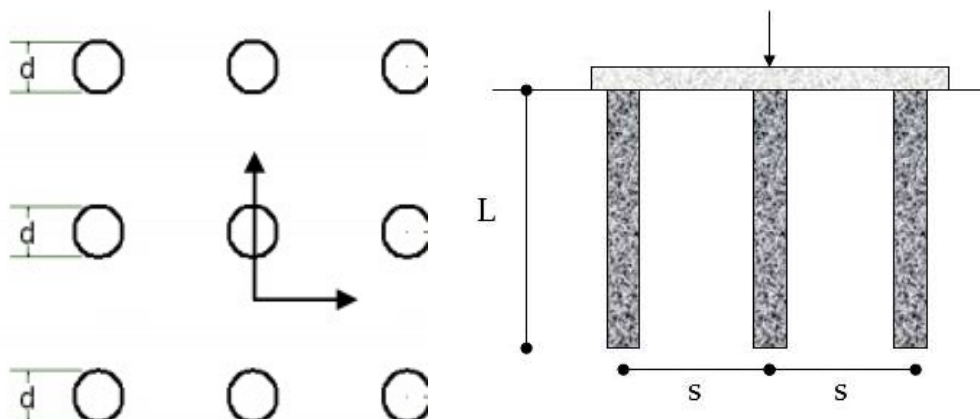
### 2.8.2 Jarak Tiang (S)

Jarak antar bore piled didalam kelompok tiang sangat mempengaruhi perhitungan kapasitas dukung dari kelompok tiang tersebut. Untuk bekerja sebagai kelompok

tiang, jarak antar tiang yang dipakai adalah menurut peraturan-peraturan bangunan pada daerah masing-masing. Menurut K. Basah Suryolelono (1994), pada prinsipnya jarak tiang ( $S$ ) makin rapat, ukuran pile cap makin kecil dan secara tidak langsung biaya lebih murah. Tetapi bila fondasi memikul beban momen maka jarak tiang perlu diperbesar yang berarti menambah atau memperbesar tahanan momen.

Jarak tiang biasanya dipakai bila:

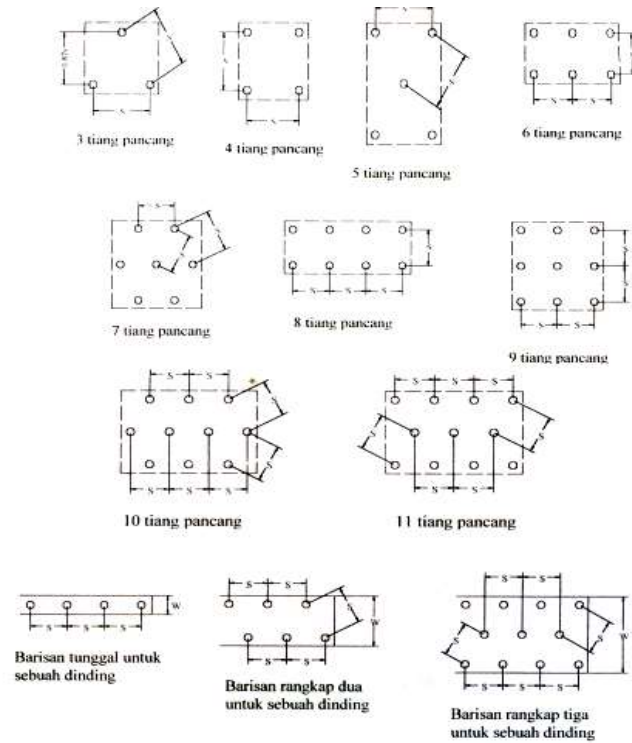
- ujung tiang tidak mencapai tanah keras maka jarak tiang minimum  $\geq 2$  kali diameter tiang atau 2 kali diagonal tampang tiang.
- ujung tiang mencapai tanah keras, maka jarak tiang minimum  $\geq$  diameter tiang ditambah 30 cm atau panjang diagonal tiang ditambah 30 cm.



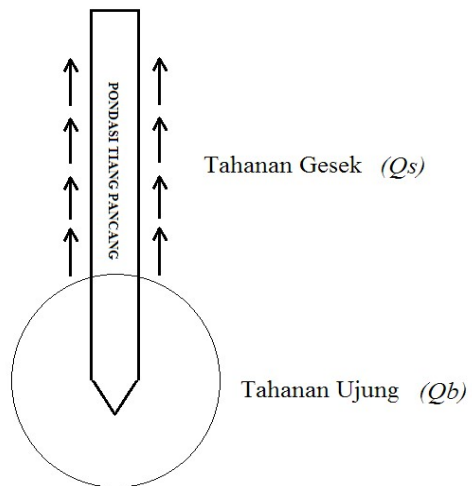
Gambar 2.4 Definisi Jarak  $S$  Dalam Hitungan Efisiensi Tiang

### 2.8.3 Susunan Tiang

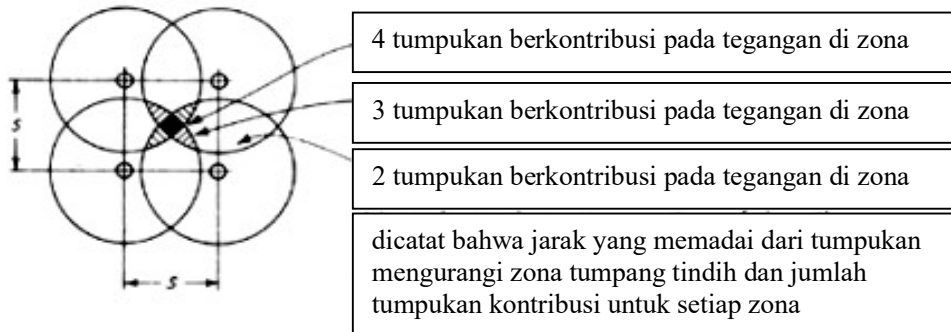
Susunan tiang sangat berpengaruh terhadap luas denah pile cap, yang secara tidak langsung tergantung dari jarak tiang. Bila jarak tiang kurang teratur atau terlalu lebar, maka luas denah pile cap akan bertambah besar dan berakibat volume beton menjadi bertambah besar sehingga biaya konstruksi membengkak (K. Basah Suryolelono, 1994).



Gambar 2.5 Pola-Pola Kelompok Tiang



Gambar 2.6 Daerah friction pada kelompok tiang (tampak samping)



Gambar 2.7 Daerah friction pada kelompok tiang (tampak atas)

#### 2.8.4 Efisiensi Kelompok Tiang

Dalam suatu group pondasi, karena adanya overlapping dari garis-garis tegangan (*Bulb of Pressure*) di sekitar tiang-tiang di dalam tanah, maka daya dukung dari group tersebut tidak akan sama dengan daya dukung masing-masing tiang dikalikan dengan jumlah tiang dalam group yang bersangkutan. Fenomena ini biasa disebut dengan *group action*. Sebagai akibat dari group action tersebut, maka perlu dicari angka efisiensi, dimana angka ini nantinya harus dikalikan dengan kapasitas group pondasi awal (kapasitas yang didapat dari penjumlahan kapasitas tiang-tiang anggota group tersebut).

Untuk menghitung efisiensi kelompok tiang berdasarkan rumus **Converse – Labbare** dengan persamaan sebagai berikut :

$$Eg = 1 - \frac{(n-1) \times m + (m-1) \times n}{m \times n} \times \frac{\theta}{90} \quad \dots\dots (2.4)$$

Dimana :

Eg : Efisiensi kelompok/group tiang

D : diameter pile

S1 : jarak antar pile

m : jumlah tiang arah horizontal

n : jumlah tiang arah vertical

Qp : jumlah pile

Untuk menghitung P maks Ijin Kelompok tiang :

$$P_{maks} = Eg \times P_{tk} \times Qp \quad \dots\dots (2.5)$$

#### 2.8.5 Gaya tekan dan gaya tarik tiang

Untuk memperoleh Beban maksimum tiang maka diperlukan suatu persamaan berdasarkan data berat tower (*support reaction*) dari Aspatindo.

Berikut rumus menghitung gaya tekan dan tarik tiang berdasarkan data berat tower:

$$\boxed{P_{maks} = \frac{(\Sigma P_v)}{Q_p} + \frac{M_x \cdot Y_{maks}}{n_y \cdot \sum y^2} + \frac{M_y \cdot X_{maks}}{n_x \cdot \sum X^2}}$$

Dimana :

- Pmaks : Beban maksimum tiang
- Mx : Momen yang bekerja pada sumbu X
- My : Momen yang bekerja pada sumbu Y
- Xmaks : Absis terjauh tiang terhadap titik berat X
- Ymaks : Absis terjauh tiang terhadap titik berat Y
- Qp : Jumlah tiang
- nx : Banyak tiang pada sumbu x
- ny : Banyak tiang pada sumbu y

#### 2.9 Faktor Keamanan

Untuk memperoleh kapasitas ujung tiang, maka diperlukan suatu angka pembagi kapasitas ultimit yang disebut dengan faktor aman (keamanan) tertentu.

Kegunaan dari faktor keamanan adalah :

1. Untuk memberikan keamanan terhadap ketidakpastian metode hitungan yang digunakan
2. Untuk memberikan keamanan terhadap variasikuat geser dan kompresibilitas tanah
3. Untuk meyakinkan bahwa bahan tiang cukup aman dalam mendukung beban yang bekerja
4. Untuk meyakinkan bahwa penurunan total yang terjadi pada tiang tunggal atau kelompok tiang masih dalam batas – batas toleransi;
5. Untuk meyakinkan bahwa penurunan tidak seragam diantara tiang-tiang masih dalam batas-batas toleransi.
6. Variasi besarnya faktor aman yang telah banyak digunakan untuk perancangan pondasi tiang, tergantung pada jenis tiang dan tanah berdasarkan data laboratorium sebagai berikut:
  - a. Bore piled

$$Q_a = \frac{Q_u}{2,5} \qquad \dots \dots \dots (2.6)$$

Beberapa peneliti menyarankan faktor keamanan yang tidak sama untuk tahanan gesek dinding dan tahanan ujung. Kapasitas izin dinyatakan dalam persamaan sebagai berikut:

$$Q_a = \frac{Q_b}{3} + \frac{Q_s}{1,5} \quad \dots\dots\dots\dots\dots(2.7)$$

Penggunaan faktor keamanan 1,5 untuk tahanan gesek dinding ( $Q_s$ ) yang harganya lebih kecil dari faktor keamanan tahanan ujung yang besarnya 3, karena nilai puncak tahanan gesek dinding dicapai bila tiang mengalami penurunan 2 sampai 7 mm, sedang tahanan ujung ( $Q_b$ ) membutuhkan penurunan yang lebih besar agar tahanan ujungnya bekerja secara penuh. Jadi maksud penggunaan faktor keamanan tersebut adalah untuk meyakinkan keamanan tiang terhadap keruntuhan dengan mempertimbangkan penurunan tiang pada beban kerja yang diterapkan.

b. Tiang bor

Kapasitas ijin tiang bor, diperoleh dari jumlah tahanan ujung dan tahanan gesek dinding yang dibagi faktor keamanan tertentu.

1. Untuk dasar tiang yang dibesarkan dengan diameter  $d < 2$  m.

$$Q_a = \frac{Q_u}{2,5} \quad \dots\dots\dots\dots\dots(2.8)$$

2. Untuk dasar tiang tanpa pembesaran

$$Q_a = \frac{Q_u}{2} \quad \dots\dots\dots\dots\dots(2.9)$$

Untuk tiang dengan diameter  $d > 2$  m, kapasitas tiang izin perlu dievaluasi dengan pertimbangan terhadap penurunan tiang.

c. Uplift

Berat yang menahan gaya angkat dapat dihitung menggunakan rumus sebagai berikut:  $W_u = (P_{ta} \times Q_p) + W_c + W_s$

Dimana :

$W_u$  : Berat yang menahan gaya angkat

$P_{ta}$  : Daya dukung ijin tarik

$Q_p$  : Jumlah Pile

$W_c$  : Berat Pondasi

$W_s$  : Berat Tanah  $T$  : Axial Uplift

Uplift dikatakan aman Ketika nilai  $W_u/T$  lebih besar dari Faktor Keamanan :

$$W_u/T > SF$$

## 2.10 Transmisi Tower Tenaga Listrik

### 2.10.1 Transmisi Tower

Transmisi adalah proses penyaluran energi listrik dari satu tempat ke tempat lainnya.

Transmisi Tegangan Tinggi berfungsi menyalurkan energi listrik dari satu gardu induk ke gardu induk lainnya, terdiri dari konduktor yang direntangkan antara tiang-tiang (tower) melalui isolator-isolator, dengan sistem tegangan tinggi.

Standar tegangan tinggi yang berlaku di Indonesia adalah:

- a. Transmisi 30 kV dan 70 kV yang ada di Indonesia, secara berangsur angsur mulai ditiadakan (tidak digunakan).
- b. Transmisi 70 kV dan 150 kV banyak terdapat di Pulau Jawa dan pulau lainnya, namun di Papua Barat menjadi yang pertama. Sedangkan transmisi 275 kV dikembangkan di Sumatera.
- c. Transmisi 500 kV berada di Pulau Jawa.

Di Indonesia, konstruksi transmisi untuk tegangan rendah, tegangan menengah dan tegangan tinggi menggunakan kabel udara dan kabel tanah sedangkan untuk tegangan tinggi dan tegangan ekstra tinggi menggunakan kabel udara.

### 2.10.2 Jenis-Jenis Menara / Tower Listrik

- a. Menurut bentuk konstruksinya, jenis-jenis menara / tower listrik dibagi atas 4 macam, yaitu :
  1. Lattice tower
  2. Tubular steel pole
  3. Concrete pole
  4. Wooden pole



Gambar 2.8 Lattice tower



Gambar 2.9 Steel Pole



Gambar 2.10 Concrete Pole



Gambar 2.11 Wodden Pole

- b. Menurut fungsinya menara /tower listrik dibagi atas 7 macam yaitu:
1. *Dead end tower*, yaitu tiang akhir yang berlokasi di dekat Gardu induk, tower ini hampir sepenuhnya menanggung gaya tarik.
  2. *Section tower*, yaitu tiang penyekat antara sejumlah tower penyangga dengan sejumlah tower penyangga lainnya karena alasan kemudahan saat pembangunan (penarikan kawat), umumnya mempunyai sudut belokan yang kecil.
  3. *Suspension tower*, yaitu tower penyangga, tower ini hampir sepenuhnya menanggung gaya berat, umumnya tidak mempunyai sudut belokan.

4. *Tension tower*, yaitu tower penegang, tower ini menanggung gaya tarik yang lebih besar daripada gaya berat, umumnya mempunyai sudut belokan.
5. *Transposition tower*, yaitu tower tension yang digunakan sebagai tempat melakukan perubahan posisi kawat fasa guna memperbaiki impedansi transmisi.
6. *Gantry tower*, yaitu tower berbentuk portal digunakan pada persilangan antara dua Saluran transmisi. Tiang ini dibangun di bawah Saluran transmisi existing.
7. *Combined tower*, yaitu tower yang digunakan oleh dua buah saluran transmisi yang berbeda tegangan operasinya.



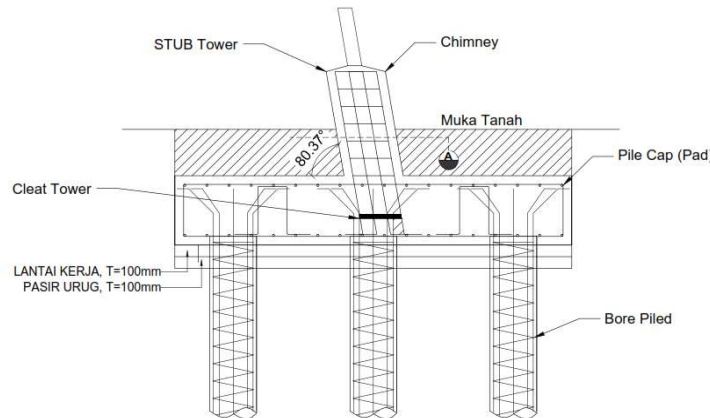
Gambar 2.12 Tower 2 sirkit tipe suspensi (kiri) dan tension (kanan).



Gambar 2.13 Tower 4 sirkit tipe suspensi (kiri) dan tension (kanan).

c. Secara umum suatu menara / tower listrik terdiri dari:

1. Pondasi, yaitu suatu konstruksi beton bertulang untuk mengikat kaki tower (stub) dengan bumi.
2. Stub, bagian paling bawah dari kaki tower, dipasang bersamaan dengan pemasangan pondasi dan diikat menyatu dengan pondasi.
3. Leg, kaki tower yang terhubung antara stub dengan body tower. Pada tanah yang tidak rata perlu dilakukan penambahan atau pengurangan tinggi leg, sedangkan body harus tetap sama tinggi permukaannya.



Gambar 2.14 Potongan Pondasi Borepile dan Stub Tower

4. Common Body, badan tower bagian bawah yang terhubung antara leg dengan badan tower bagian atas (super structure). Kebutuhan tinggi tower dapat dilakukan dengan pengaturan tinggi common body dengan cara penambahan atau pengurangan.
5. Super structure, badan tower bagian atas yang terhubung dengan common body dan cross arm kawat fasa maupun kawat petir. Pada tower jenis delta tidak dikenal istilah super structure namun digantikan dengan “K” frame dan bridge.
6. Cross arm, bagian tower yang berfungsi untuk tempat menggantungkan atau mengaitkan isolator kawat fasa serta clamp kawat petir. Pada umumnya cross arm berbentuk segitiga kecuali tower jenis tension yang mempunyai sudut belokan besar berbentuk segi empat.
7. “K” frame, bagian tower yang terhubung antara common body dengan bridge maupun cross arm. “K” frame terdiri atas sisi kiri dan kanan yang simetri. “K” frame tidak dikenal di tower jenis pyramid.

8. Bridge, penghubung antara cross arm kiri dan cross arm tengah. Pada tengah-tengah bridge terdapat kawat pengantar fasa tengah. Bridge tidak dikenal di tower jenis pyramida.
9. Rambu tanda bahaya, berfungsi untuk memberi peringatan bahwa instalasi SUTT/SUTET mempunyai resiko bahaya. Rambu ini bergambar petir dan tulisan “AWAS BERBAHAYA TEGANGAN TINGGI”. Rambu ini dipasang di kaki tower lebih kurang 5 meter diatas tanah sebanyak dua buah, dipasang disisi yang menghadap tower nomor kecil dan sisi yang menghadap nomor besar.
10. Rambu identifikasi tower dan pengantar / jalur, berfungsi untuk memberitahukan identitas tower seperti: Nomor tower, Urutan fasa, Pengantar / Jalur dan Nilai tahanan pentahanan kaki tower.
11. Anti Climbing Device (ACD), berfungsi untuk menghalangi orang yang tidak berkepentingan untuk naik ke tower. ACD dibuat runcing, berjarak 10 cm dengan yang lainnya dan dipasang di setiap kaki tower dibawah Rambu tanda bahaya.
12. Step bolt, baut panjang yang dipasang dari atas ACD ke sepanjang badan tower hingga super structure dan arm kawat petir. Berfungsi untuk pijakan petugas sewaktu naik maupun turun dari tower.
13. Halaman tower, daerah tapak tower yang luasnya diukur dari proyeksi keatas tanah galian pondasi. Biasanya antara 3 hingga 8 meter di luar stub tergantung pada jenis tower.

## **BAB III**

### **METODOLOGI PENELITIAN**

#### **3.1 Data Umum**

Data umum dari Proyek Pembangunan Tower Transmisi 150 kV PLTMG Sorong – GI Aimas - GI Sorong – GI Rufey, Provinsi Papua Barat adalah sebagai berikut:

1. Nama Proyek : Pembangunan SUTT 150kV GI Sorong – GI Rufey
2. Lokasi Proyek : Kota Sorong (T.7 : Kampung Bugis)
3. Panjang Pekerjaan : 16 kmroute (32 km sirkuit)
4. Item Pekerjaan :
  - a. Pekerjaan Pondasi
  - b. Pekerjaan Erection (Pemasangan Stuktur baja tower)
  - c. Pekerjaan Stringing (Penarikan Kabel)
5. Sumber Dana : APLN (Anggaran Perusahaan Listrik Negara)
6. Pemberi Pekerjaan
  - a. Perusahaan : PT PLN (Persero) Unit Induk Pembangunan Papua
  - b. Alamat : Jl. Baru Kotaraja, Kel. Wai Mhorock, Kec. Abepura Jayapura
7. Pelaksana Pekerjaan
  - a. Perusahaan : KSO PT. Prima Langgeng Utama – PT. Wahyu Jaaya Gammara
  - b. Alamat : Jl. Mandala Raya No. 10, Tomang Jakarta Barat 11440
8. Pengawas Pekerjaan
  - a. Perusahaan : PT Prima Layanan Nasional Enjiniring (PLN E)
  - b. Alamat : Jl. Ciputat Raya No. 123 Kebayoran Lama 12310

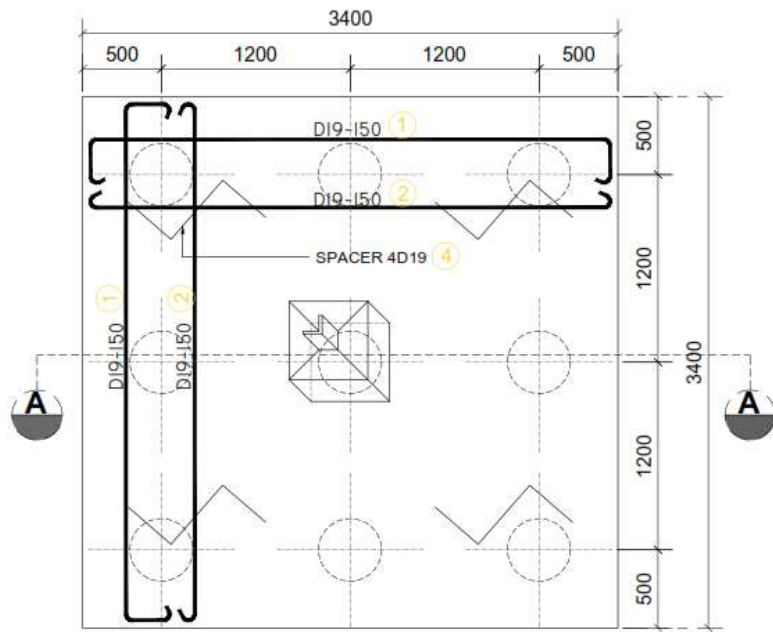


Gambar 3.1 Layout Proyek Pembangunan Tower 150kV GI Sorong – GI Rufey  
(Sumber : Google Earth Pro 2020)

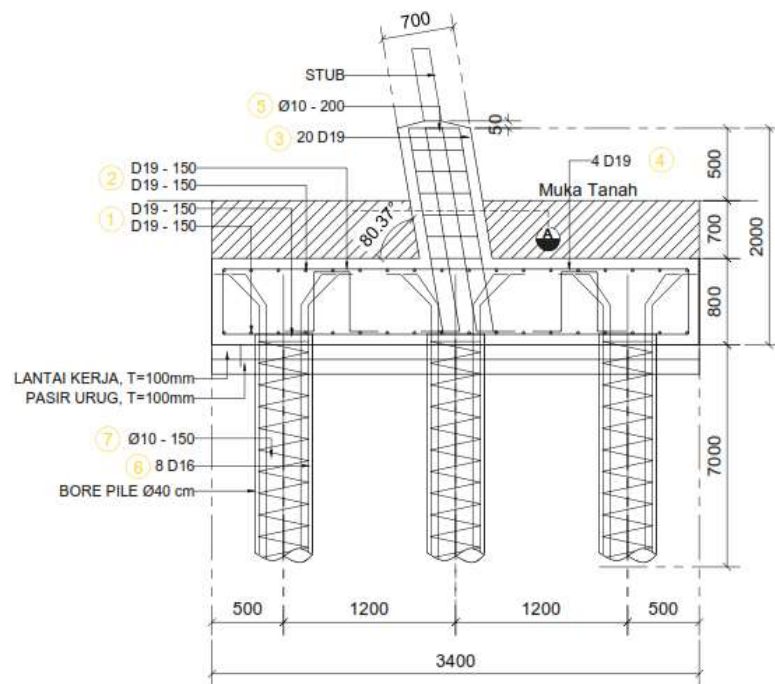
### 3.2 Struktur Pondasi

Pondasi adalah bagian terendah dari suatu struktur tower yang berfungsi untuk menyalurkan beban struktur kelapisan tanah keras yang mempunyai kapasitas daya dukung tinggi yang letaknya cukup dalam di dalam tanah dibawahnya. Dimana beban struktur itu sangat dipengaruhi oleh semuabeban yang terjadiikibat beban angin, tarikan konduktor, beban gempa dan beban berat tower itu sendiri. Dari semua pembebanan diatas akan menghasilkan pembebanan aksial dan akan ditransfer seluruhnya kepondasi.

Dengan adanya pembebanan struktur ( $Q$ ) ini pada tiang pondasi, maka pondasi akan bergerak kebawah sedangkan tanah relatif diam. Pada keadaan ini baik tahanan ujung tiang  $Q_b$  dan tahanan gesek tiang  $Q_s$  akan bekerja keatas, yaitu sebagai gaya perlawanan beban  $Q$  yang bekerja pada tiang. Kapasitas ultimit tiang ( $Q_u$ ) adalah jumlah dari tahanan ujung bawah ultimit dan tanah disekitarnya. Dengan kata lain, agar struktur dikatakan aman, maka pembebanan struktur ( $Q$ ) harus lebih kecil atau sama dengan kapasitas ultimit tiang ( $Q_u$ ).



Gambar 3.2 Denah Bored Pile



Gambar 3.3 Potongan Bore Pile

### **3.3 Data Teknis Bore Pile**

Data ini diperoleh dari menurut perhitungan dari pihak konsultan perencana dengan data sebagai berikut:

1. Kelas Pondasi : Kelas 6 (Pondasi Dalam)
2. Tipe : *Bored Pile*
3. Panjang Bore pile : 7.0 m
4. Diameter : 40 cm
5. Mutu Beton : K-225       $f_c'$  : 18.675 Mpa
6. BJ Beton : 24 kN/m<sup>3</sup>
7. BJ Tanah : 16 kN/m<sup>3</sup>
8. Mutu Baja : U39 ;  $f_y$  : 390 Mpa  
                          U24 ;  $f_y$  : 240 Mpa
9. Denah Titik Bored pile : Dapat dilihat pada gambar 3.2

### **3.4 Data Teknis Konstruksi Tower**

1. Nomor Tower : Tower 7
2. Tipe Tower : Tower DD6 +12
3. Tinggi Tower : 49.5 meter
4. Standart Tower : Technical Specification of Tower 150kV 2 x Zebra  
                          PT.PLN (Persero) Kantor Pusat
5. Luas Area Tower : 20 m x 20 m
6. Lebar Access Road : 3 m
7. Jarak Access Road : 10 m
8. Diameter Bore Pile : 400 mm
9. Jarak AS to AS : 10.327 m
10. Support Reaction : Axial 1.106,016 Compression (P)  
                          : Axial 931,0110 Tension/Uplift (T)  
                          : TS 174,610 CTs Transversal Shear (Fx)  
                          : LS 156,829 CLs Longitudinal Shear (Fy)

(Sumber: Data Support Reaction dari Asosiasi Pabrikan Tower Indonesia/Aspatindo)

### **3.5 Metode Pengumpulan Data**

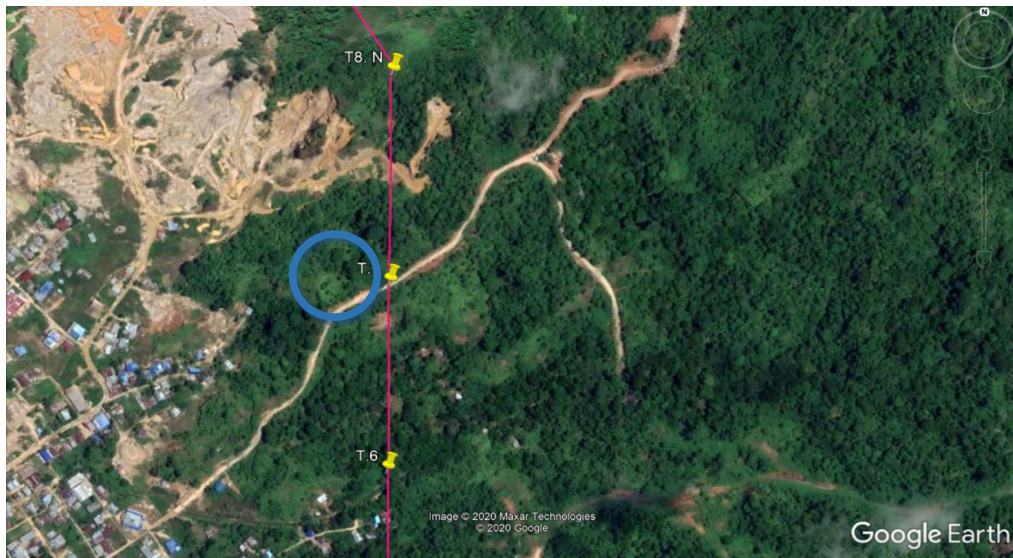
Untuk meninjau kembali perhitungan perencanaan pondasi bored pile pada Proyek Pembangunan Tower Transmisi 150kV GI Sorong – GI Rufey, Papua Barat, penulis memperoleh data antara lain dari PT. PLN (Persero) Unit Induk Pembangunan Papua diperoleh data beban support reaction tower, data sondir, dan gambar rencana pondasi

### **3.6 Data Sondir**

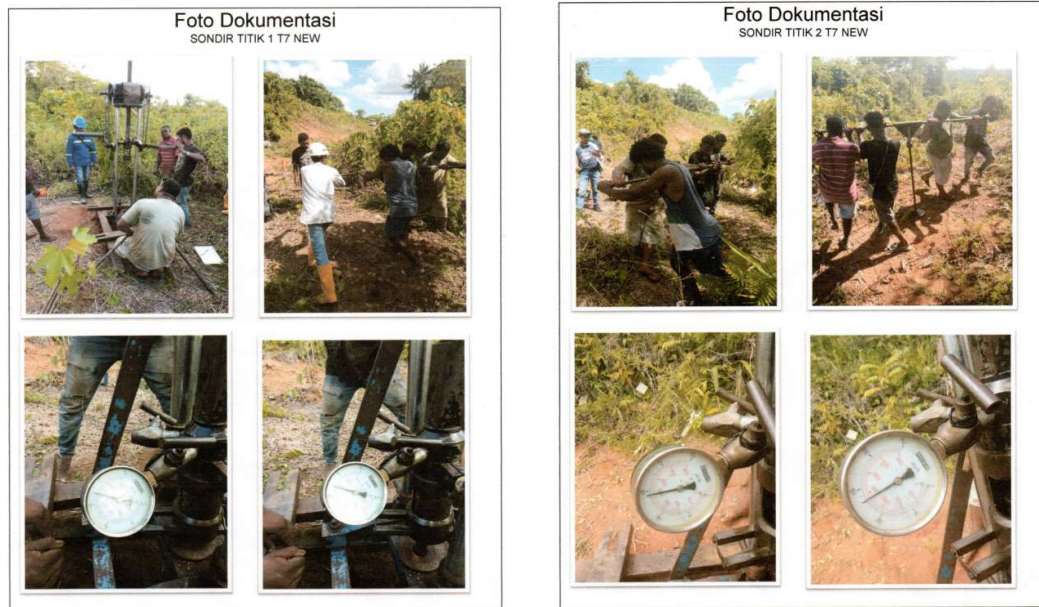
Sondir yang dilaksanakan pada Proyek Pembangunan Tower Transmisi 150kV GI Sorong – GI Rufey, Provinsi Papua Barat.

#### **3.6.1 Lokasi Sondir**

Lokasi Titik Sondir (gambar 3.4) dan Dokumentasi Penyelidikan Tanah (gambar 3.5)



Gambar 3.4 Lokasi Sondir (Sumber : Google Earth Pro 2020)

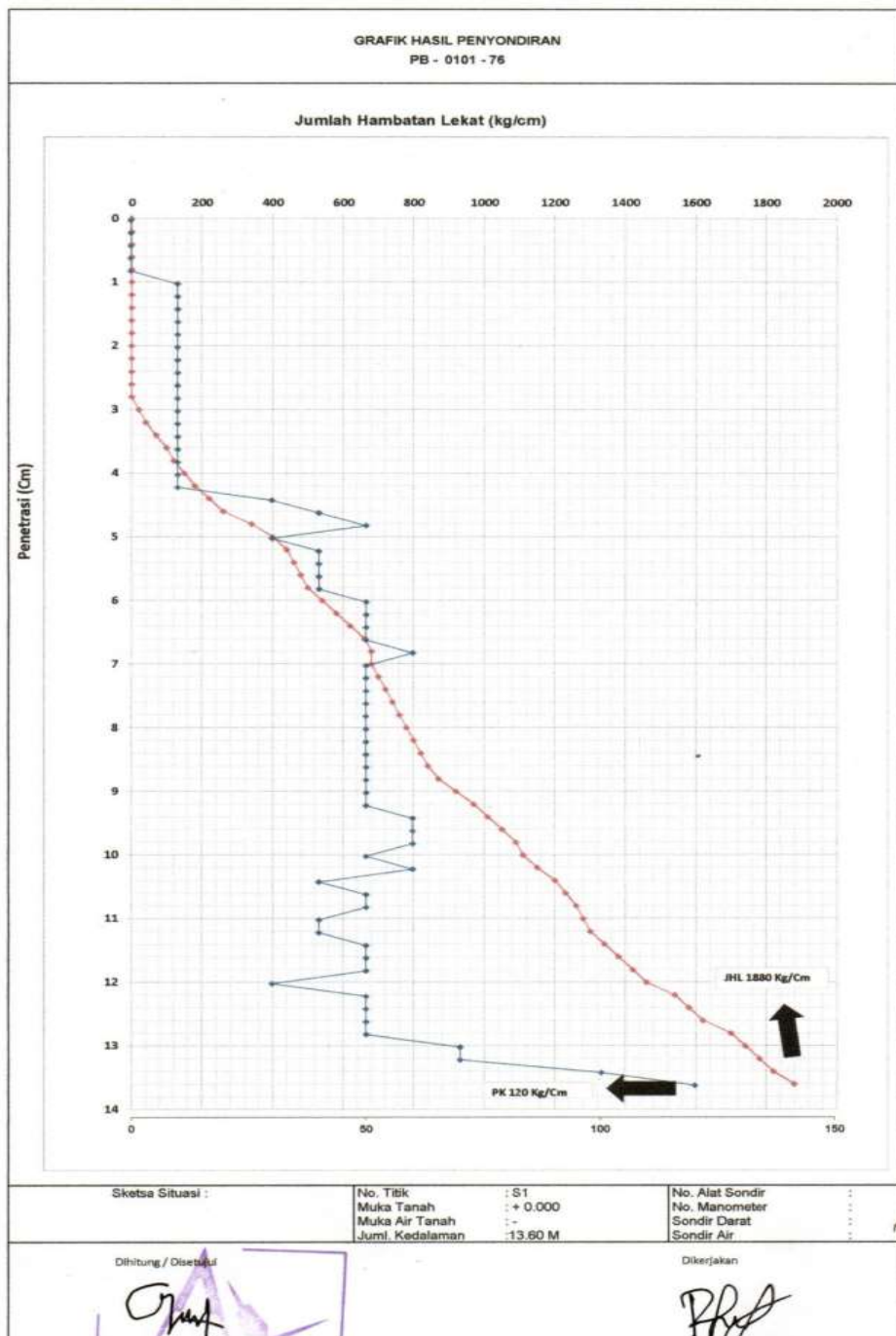


Gambar 3.5 Dokumentasi Penyelidikan Tanah

### 3.6.2 Tabel dan Grafik Sondir

Proyek : SUTT 150kV Sorong - Rufey			Dikerjakan : Ronny			
Pekerjaan : Sondir			Tgl : 24-06-2019			
No. Titik : S1			Koordinat :			
Lokasi : T7 New						
<b>DATA SONDIR</b> PB - 0101 - 76						
Kedalaman M.T (m)	Perlawanan Penetrasi Konus (PK) (kg/cm <sup>2</sup> )	Jumlah Perlawanan (JP) (kg/cm <sup>2</sup> )	Hambatan Lekat HL=JP-PK (kg/cm <sup>2</sup> )	HL <sub>20</sub> (kg/cm)	Jumlah Hambatan Lekat (JHL) (kg/cm)	Hambatan Setempat " HS=HL/10 (kg/cm)
0.00	0	0	0	0	0	0.0
0.20	0	0	0	0	0	0.0
0.40	0	0	0	0	0	0.0
0.60	0	0	0	0	0	0.0
0.80	0	0	0	0	0	0.0
1.00	10	10	0	0	0	0.0
1.20	10	10	0	0	0	0.0
1.40	10	10	0	0	0	0.0
1.60	10	10	0	0	0	0.0
1.80	10	10	0	0	0	0.0
2.00	10	10	0	0	0	0.0
2.20	10	10	0	0	0	0.0
2.40	10	10	0	0	0	0.0
2.60	10	10	0	0	0	0.0
2.80	10	10	0	0	0	0.0
3.00	10	20	10	20	20	2.0
3.20	10	20	10	20	40	2.0
3.40	10	25	15	30	70	3.0
3.60	10	25	15	30	100	3.0
3.80	10	20	10	20	120	2.0
4.00	10	25	15	30	150	3.0
4.20	10	25	15	30	180	3.0
4.40	30	50	20	40	220	4.0
4.60	40	60	20	40	260	4.0
4.80	50	60	40	60	340	8.0
5.00	50	60	30	60	400	6.0
5.20	40	60	20	40	440	4.0
5.40	40	50	10	20	460	2.0
5.60	40	50	10	20	480	2.0
5.80	40	50	10	20	500	2.0
6.00	50	70	20	40	540	4.0
6.20	50	70	20	40	580	4.0
6.40	50	70	20	40	620	4.0
6.60	50	70	20	40	660	4.0
6.80	60	70	10	20	680	2.0
7.00	50	50	0	0	680	0.0
7.20	50	60	10	20	700	2.0
7.40	50	60	10	20	720	2.0
7.60	50	60	10	20	740	2.0
7.80	50	60	10	20	760	2.0
8.00	50	60	10	20	780	2.0
8.20	50	60	10	20	800	2.0
8.40	50	60	10	20	820	2.0
8.60	50	60	10	20	840	2.0
8.80	50	65	15	30	870	3.0
9.00	50	75	25	50	920	5.0
9.20	50	75	25	50	970	5.0
9.40	60	80	20	40	1010	4.0
9.60	60	80	20	40	1050	4.0
9.80	60	80	20	40	1090	4.0
10.00	50	60	10	20	1110	2.0
10.20	60	80	20	40	1150	4.0
10.40	40	65	25	50	1200	5.0
10.60	50	65	15	30	1230	3.0
10.80	50	65	15	30	1260	3.0
11.00	40	50	10	20	1280	2.0
11.20	40	50	10	20	1300	2.0
11.40	50	70	20	40	1340	4.0
11.60	50	70	20	40	1380	4.0
11.80	50	70	20	40	1420	4.0
12.00	30	50	20	40	1460	4.0
12.20	50	90	40	80	1540	8.0
12.40	50	70	20	40	1580	4.0
12.60	50	70	20	40	1620	4.0
12.80	50	90	40	80	1700	8.0
13.00	70	90	20	40	1740	4.0
13.20	70	90	20	40	1780	4.0
13.40	100	120	20	40	1820	4.0
13.60	120	150	30	60	1860	6.0
Sketsa Situasi :		No. Titik : S1	No. Alat Sondir :			
		Muka Tanah : + 0,00	No. Manometer :			
		Muka Air Tanah : -	Sondir Darat :			
		Juml. Kedalaman : 13.60 M	Sondir Air :			
Dihitung / Disetujui						
 Paulus Tolauta S.T.		 Ronny				
 Dajcon DESIGN ENGINEERING & MANAGEMENT CONSULTANT						

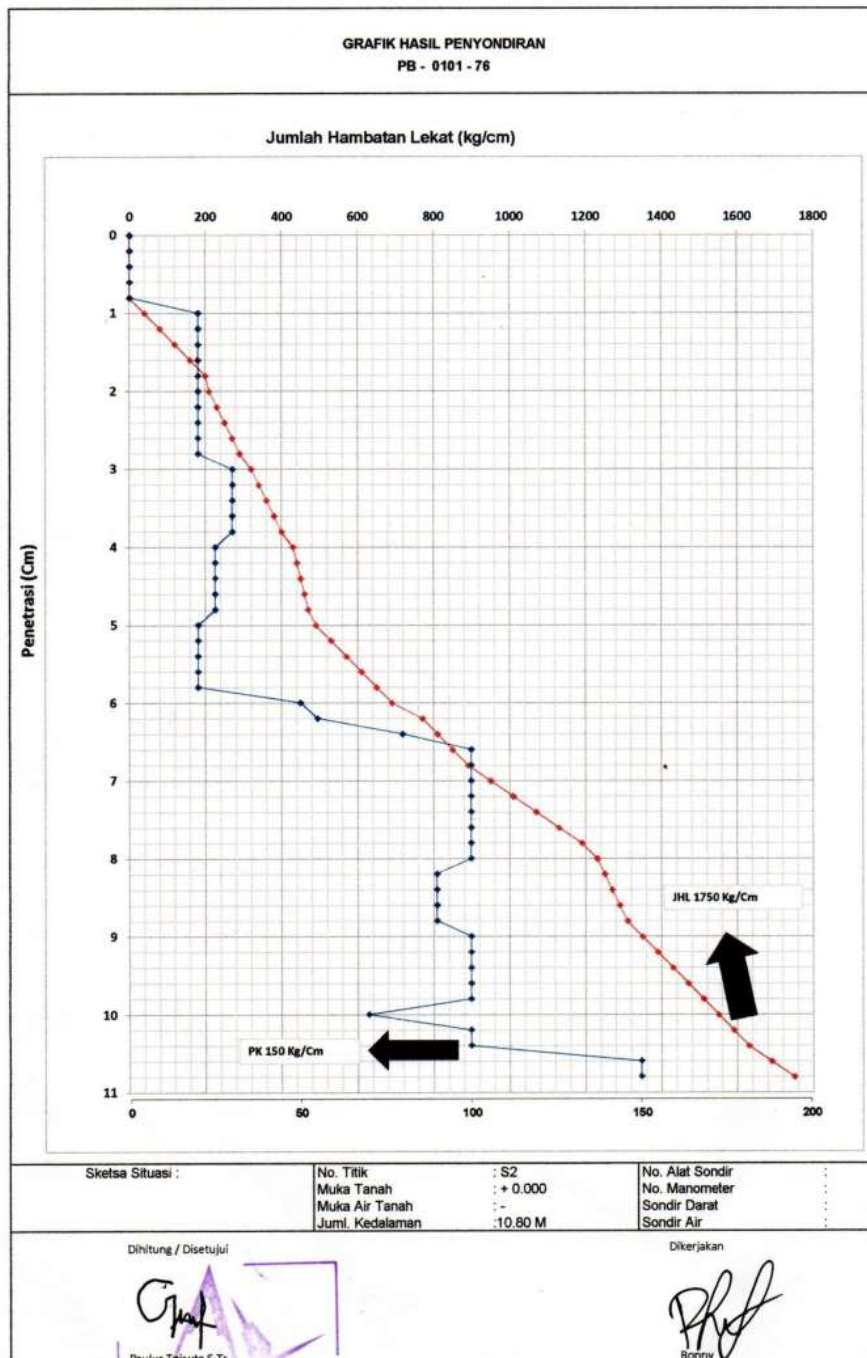
Tabel 3.1 Tabel Hasil Sondir T.7 SUTT Sorong – Rufey (Titik 1)



Grafik 3.1 Hasil Sondir T.7 SUTT Sorong – Rufey (Titik 1)

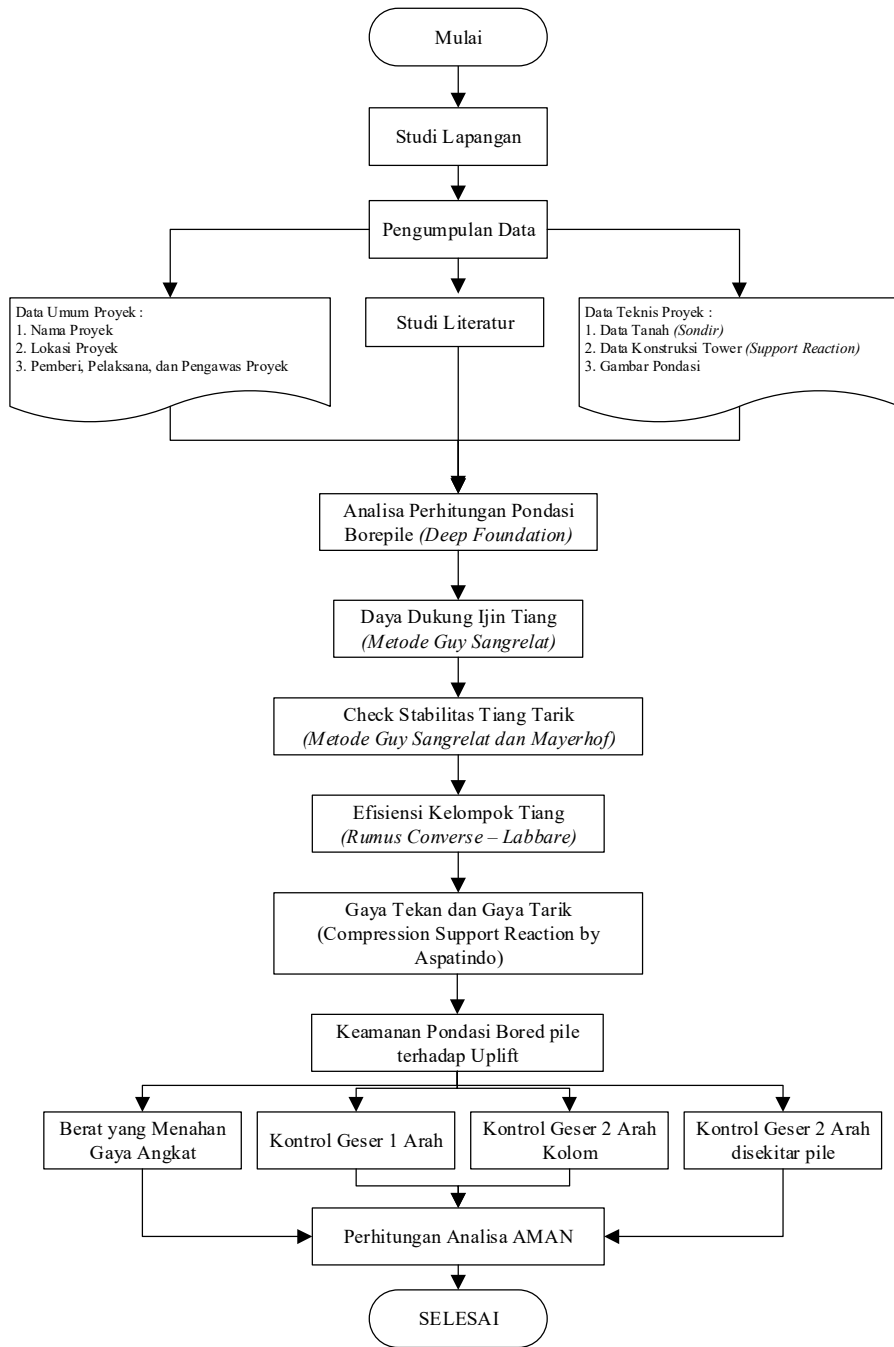
Proyek	: SUTT 150kV Sorong - Rufey		Dikerjakan	RONNY		
Pekerjaan	Sondir		Tgl	24-06-2019		
No. Titik	S2		Koordinat			
Lokasi	T7 New					
<b>DATA SONDIR</b> <b>PB - 0101 - 76</b>						
Kedalaman M.T (m)	Perlawaan Penetrasi Konus (PK) (kg/cm <sup>2</sup> )	Jumlah Perlawaan (JP) (kg/cm <sup>2</sup> )	Hambatan Lekat HL=JP-PK (kg/cm <sup>2</sup> )	HL <sub>20</sub> (kg/cm)	Jumlah Hambatan Lekat (JHL) (kg/cm)	Hambatan Setempat * HS=HL/10 (kg/cm)
0.00	0	0	0	0	0	0.0
0.20	0	0	0	0	0	0.0
0.40	0	0	0	0	0	0.0
0.60	0	0	0	0	0	0.0
0.80	0	0	0	0	0	0.0
1.00	20	40	20	40	40	4.0
1.20	20	40	20	40	80	4.0
1.40	20	40	20	40	120	4.0
1.60	20	40	20	40	160	4.0
1.80	20	40	20	40	200	4.0
2.00	20	25	5	10	210	1.0
2.20	20	30	10	20	230	2.0
2.40	20	30	10	20	250	2.0
2.60	20	30	10	20	270	2.0
2.80	20	30	10	20	290	2.0
3.00	30	45	15	30	320	3.0
3.20	30	40	10	20	340	2.0
3.40	30	40	10	20	360	2.0
3.60	30	40	10	20	380	2.0
3.80	30	40	10	20	400	2.0
4.00	25	40	15	30	430	3.0
4.20	25	30	5	10	440	1.0
4.40	25	30	5	10	450	1.0
4.60	25	30	5	10	460	1.0
4.80	25	30	5	10	470	1.0
5.00	20	30	10	20	490	2.0
5.20	20	40	20	40	530	4.0
5.40	20	40	20	40	570	4.0
5.60	20	40	20	40	610	4.0
5.80	20	40	20	40	650	4.0
6.00	50	70	20	40	690	4.0
6.20	55	95	40	80	770	8.0
6.40	80	100	20	40	810	4.0
6.60	100	120	20	40	850	4.0
6.80	100	120	20	40	890	4.0
7.00	100	130	30	60	950	6.0
7.20	100	130	30	60	1010	6.0
7.40	100	130	30	60	1070	6.0
7.60	100	130	30	60	1130	6.0
7.80	100	130	30	60	1190	6.0
8.00	100	120	20	40	1230	4.0
8.20	90	100	10	20	1250	2.0
8.40	90	100	10	20	1270	2.0
8.60	90	100	10	20	1290	2.0
8.80	90	100	10	20	1310	2.0
9.00	100	120	20	40	1350	4.0
9.20	100	120	20	40	1390	4.0
9.40	100	120	20	40	1430	4.0
9.60	100	120	20	40	1470	4.0
9.80	100	120	20	40	1510	4.0
10.00	70	90	20	40	1550	4.0
10.20	100	120	20	40	1590	4.0
10.40	100	120	20	40	1630	4.0
10.60	150	180	30	60	1690	6.0
10.80	150	180	30	60	1750	6.0
Sketsa Situasi :	No. Titik	S2	No. Alat Sondir	:		
	Muka Tanah	: + 0,00	No. Manometer	:		
	Muka Air Tanah	: -	Sondir Darat	:		
	Juml. Kedalaman	: 10.80 M	Sondir Air	:		
Dikerjakan						
 Paulus Tolputa S.Tr						
 Ronny						
						

Tabel 3.2 Tabel Hasil Sondir T.7 SUTT Sorong – Rufey (Titik 2)



Grafik 3.2 Hasil Sondir T.7 SUTT Sorong – Rufey (Titik 2)

### 3.7 Flowchart Penelitian



## BAB IV

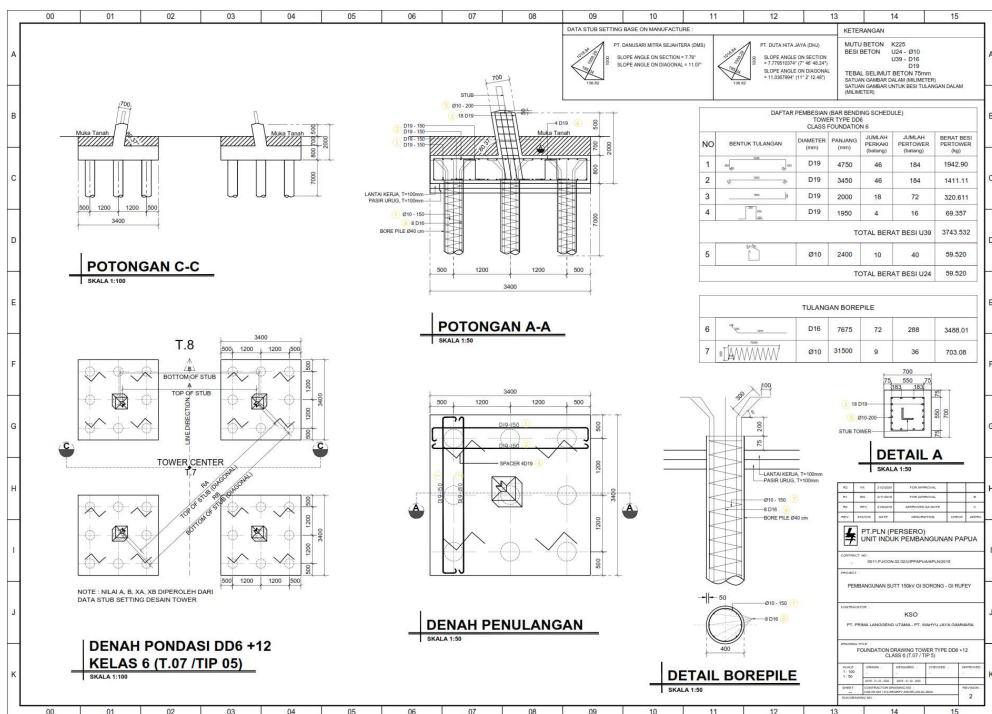
### PEMBAHASAN

Dalam merencanakan dan menganalisa suatu pondasi terlebih dahulu dihitung besarnya beban yang akan didukung oleh pondasi, kemudian dihitung kekuatan tanah yang akan mendukung pondasi tersebut. Apabila beban yang dipikul oleh pondasi lebih besar dari daya dukungnya maka akan mengakibatkan penurunan dan pondasi dikatakan tidak aman. Pada Bab ini akan diaplikasikan metode perhitungan daya dukung pondasi bored pile dengan menggunakan data Sondir dan berdasarkan gambar rencana pondasi, yakni sesuai dengan dimensi pondasi dan daftar pembesian.

#### 4.1 Analisa Perhitungan Pondasi Bored Pile (*Deep Foundation*)

Analisa perhitungan pondasi bored pile dihitung berdasarkan data-data yang telah dikumpulkan pada saat penelitian yakni sebagai berikut:

##### 4.1.1 Data Gambar Rencana :



(Sumber Gambar : PLN UIP Papua)

#### 4.1.2 Perhitungan Data Sondir :

Menurut *Guy Sangrelat (qc)* : Nilai konus 8D diatas ujung tiang, 4D dibawah ujung tiang

<b>Depth</b>	<b>qc</b>				<b>Friction</b>	<b>Description</b>
(m)	(kg/cm <sup>2</sup> )				(kg/cm)	
(1)	(2)	(3)	(4)	(5)	(6)	
(1)	(2)	(3)	(3)-(2)	(4)x2	kumulatif	
5,80	20				650	8D 9m - (8*0.4)
6,00	50				690	
6,20	55				770	
6,40	80				810	
6,60	100				850	
6,80	100				890	
7,00	100				950	
7,20	100				1010	
7,40	100				1070	
7,60	100				1130	
7,80	100				1190	
8,00	100				1230	
8,20	90				1250	
8,40	90				1270	
8,60	90				1290	
8,80	90				1310	
9,00	100				1350	Ujung Konus
9,20	100				1390	4D 9m + (4*0.4)
9,40	100				1430	
9,60	100				1470	
9,80	100				1510	
10,00	70				1550	
10,20	100				1590	
10,40	100				1630	
10,60	150				1690	

Tabel 4.1 Tabel Perhitungan Sondir menurut Guy Sangrelat

qc rata-rata : 91,40 kg/cm<sup>2</sup> (diambil dari data S2)

Friction : 1690 kg/cm<sup>2</sup> (diambil dari data S2)

#### 4.1.3 Data Support Reaction Tower DD6+12 :

EXTERNAL LOAD	BROKEN WIRE CONDITION	
	(kN.)	
	Compression	Tension
Axial Compression	P	1.106,016 Comp
Axial Uplift	T	931,0110 Tens
Transversal Shear	Fx	174,610 CTs
Longitudinal Shear	Fy	156,829 CLs
		TLs

Sumber : Support Reaction Tower DD6+12 (Dari Asosiasi Pabrikan Tower Indonesia / Aspatindo)

#### 4.1.4 Spesifikasi Material :

Mutu Beton K 225  $f_c'$  = 18,675 Mpa

Berat Jenis Beton  $\rho_b$  = 24 kN/m<sup>3</sup>

Baja Tulangan U39  $f_y$  = 390 Mpa U24  $f_y'$  = 240 Mpa

Berat Jenis Tanah  $\rho_s$  = 16 kN/m<sup>3</sup>

#### 4.1.5 Dimensi Pondasi :

H : 2.00 m

H1: 0.80 m

H2: 0.70 m

H3: 0.50 m

Lx: 3.40 m

Ly: 3.40 m

Cx: 0.70 m

Cy: 0.70 m

D : 0.40 m

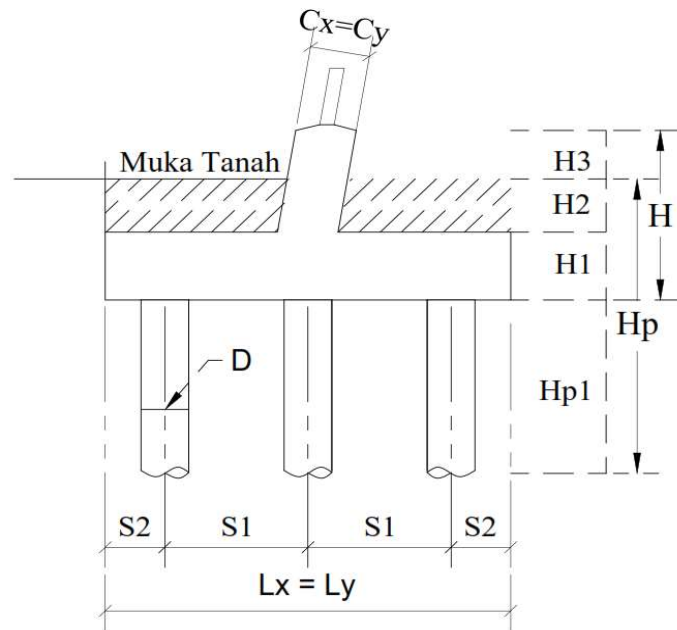
S1: 1.20 m

S2 : 0.50 m

Hp: 8.50 m

Hp1 : 7.00 m

Qp : 9 pile



#### 4.1.6 Data Desain Pondasi :

*Perhitungan Volume dan Berat Pondasi*

$$\begin{aligned}
 \text{Volume Pedestal (Vp)} &= Lx \times Ly \times H1 \\
 &= 3.40 \times 3.40 \times 0.80 \\
 &= 9.25 \text{ m}^3 \\
 \text{Volume Kolom (Vk)} &= Cx \times Cy \times H2+H3 \\
 &= 0.70 \times 0.70 \times 1.20 \\
 &= 0.59 \text{ m}^3 \\
 \text{Volume Pile (Vb)} &= 1/4 \cdot \pi \cdot D^2 \cdot H_{p1} \cdot Q_p \\
 &= 0.25 \times 3.14 \times 0.40^2 \times 7.00 \times 9 \\
 &= 7.91 \text{ m}^3 \\
 \text{Volume Total Pondasi (Vt)} &= Vp + Vk + Vb \\
 &= 9.25 + 0.59 + 7.91 \\
 &= 17.75 \text{ m}^3 \\
 \text{Berat Pondasi (Wc)} &= Vt \times BJ_b \\
 (\text{Weight Concrete}) &= 17.75 \times 24.00 \\
 &= 425.97 \text{ kN}
 \end{aligned}$$

*Perhitungan Volume dan Berat Tanah*

$$\begin{aligned}
 \text{Volume Tanah (Vs)} &= (Lx.Ly.H2) - (Cx.Cy.H2) \\
 &= 8.09 - 0.34 \\
 &= 7.55 \text{ m}^3
 \end{aligned}$$

$$\begin{aligned}
 \text{Berat Tanah (Ws)} &= V_s \times B_J s \\
 (\text{Weight Soil}) &= 7.75 \times 16.00 \\
 &= 123.98 \text{ kN}
 \end{aligned}$$

#### 4.2 Perhitungan Daya Dukung Tiang

Perhitungan kapasitas daya dukung tiang *bored pile* dari data Sondir berdasarkan metode *Guy Sangrelat dan Mayerhof*

Adapun rumus-rumus yang digunakan adalah :

Kapasitas daya dukung ijin tekan pile ditentukan dengan persamaan sebagai berikut :

$$P_{tk} = \frac{q_c \times A_p}{FK1} + \frac{T_f \times C_p}{FK2}$$

Dimana :

- |                |   |    |               |
|----------------|---|----|---------------|
| Ppile Tekan    | : daya dukung ijin tekan pile tunggal   |    |               |
| Tf             | : nilai total friction  |    |               |
| Cp             | : keliling selimut tiang  |    |               |
| FK2            | : faktor keamanan = 5   | BJ | : Berat Jenis |
| Wc             | : Berat Beton = Vol. total pondasi x BJ beton (24.00kN/m <sup>3</sup> )                 |    |               |
| Hp1            | : panjang pile efektif  |    |               |
| Wp             | : berat 1 tiang pile = $\frac{1}{4} \cdot \pi \cdot D^2 \cdot H p1 \cdot B J b e t o n$ |    |               |
| Qp             | : Jumlah pile   |    |               |
| A <sub>p</sub> | : luas penampang tiang ( $\frac{1}{4} \cdot \pi \cdot D^2$ )                            |    |               |
| C <sub>p</sub> | : keliling selimut tiang ( $2 \cdot \pi \cdot r$ )                                      |    |               |
| FK 1 & FK 2    | : faktor keamanan berturut-turut 3 dan 5  |    |               |

Maka diketahui,

$$q_c = 91.40 \text{ kg/cm}^2$$

$$T_f = 1690 \text{ kg/cm}$$

$$A_p = 1256 \text{ cm}^2 \quad C_p = 125.6 \text{ cm}$$

$$\begin{array}{ll}
 \text{FK 1} & = 3 \\
 \text{FK 2} & = 5
 \end{array}$$

$$\begin{aligned}
 \mathbf{P_{tk}} &= \frac{\mathbf{q_c} \times \mathbf{Ap}}{\mathbf{FK1}} + \frac{\mathbf{Tf} \times \mathbf{Cp}}{\mathbf{FK2}} \\
 &= \frac{91,40 \times 1256}{3} + \frac{1690 \times 125,6}{5} \\
 &= 80718,933 \text{ Kg} \\
 &= 807,189 \text{ kN}
 \end{aligned}$$

#### 4.3 Check Stabilitas Tiang

Setelah daya dukung ijin tekan diperoleh, selanjutnya dihitung daya dukung izin tarik dengan persamaan berikut :

$$\boxed{\mathbf{P_{pile\ tarik}} = \frac{(\mathbf{Tf} \times \mathbf{Cp} \times 0.7)}{\mathbf{FK2}} + \mathbf{W_p}}$$

Dimana :

- Ppile Tarik : daya dukung ijin tarik pile tunggal
- Tf : nilai total friction
- Cp : keliling selimut tiang Cp = 125.6 cm
- FK2 : faktor keamanan = 5 BJ : Berat Jenis = 24 kN/m<sup>3</sup>
- Wc : Berat Beton = Vol. total pondasi x BJ beton (24.00kN/m<sup>3</sup>)
- Hp1 : panjang pile efektif
- Wp : berat 1 tiang pile =  $\frac{1}{4} \cdot \pi \cdot D^2 \cdot H_p \cdot B_J \text{beton} = 21.101 \text{ kN}$
- Qp : Jumlah pile = 9

Maka diketahui,

$$\begin{aligned}
 \mathbf{P_{ta}} &= \frac{\mathbf{Tf} \times \mathbf{Cp} \times 0,7}{\mathbf{FK2}} + \mathbf{W_p} \\
 &= \frac{16,900 \times 125,6 \times 0,7}{5} + 21,101 \\
 &= 318,270 \text{ kN}
 \end{aligned}$$

#### 4.4 Efisiensi kelompok tiang

Perhitungan Efisiensi kelompok tiang berdasarkan rumus *Converse – Labbarre*, dan ditentukan dengan persamaan sebagai berikut:

$$Eg = 1 - \frac{(n-1) \times m + (m-1) \times n}{m \times n} \times \frac{\theta}{90}$$

Dimana :

$\theta$	: $\arctan(D/S_1)$	$= 18.43^\circ$
$D$	: diameter pile	$= 0.40 \text{ m}$
$S_1$	: jarak antar pile	$= 1.2 \text{ m}$
$m$	: jumlah tiang arah horizontal	$= 3$
$n$	: jumlah tiang arah vertical	$= 3$
$Q_p$	: jumlah pile	$= 9$

Maka diketahui,

$$\begin{aligned} Eg &= 1 - \frac{(n-1)m + (m-1)n}{m \times n} \times \frac{\theta}{90} \\ &= 1 - \frac{(3-1)3 + (3-1)3}{3 \times 3} \times \frac{18,43}{90} \\ &= 0,72689 \end{aligned}$$

Setelah efisiensi kelompok tiang diperoleh, selanjutnya dihitung Beban Maksimum atau Pmaks ijin kelompok tiang dengan persamaan sebagai berikut :

#### P maks ijin kelompok tiang

$$\begin{aligned} &= Eg \times P_{tk} \times Q_p \\ &= 5280,64 \text{ kN} \end{aligned}$$

#### 4.5 Perhitungan Gaya Tekan Dan Gaya Tarik Tiang

Setelah daya dukung ijin tiang tekan, tarik, stabilitas dan efisiensi kelompok tiang sudah diperoleh, selanjutnya dihitung gaya tekan dan tarik tiang berdasarkan data *Compression support reaction tower* (diperoleh dari Aspatindo) sesuai pada Bab III 3.4 Data teknis konstruksi tower atau pada Bab IV 4.1.3 Data Support Reaction Tower DD+12

*Compression :*

$$F_{yc} (\text{Geser Longitudinal}) = 156.829 \text{ kN}$$

$$F_{xc} (\text{Geser Transversal}) = 174.610 \text{ kN}$$

$$F_c (\text{Tekanan Aksial}) = 1106.016 \text{ kN}$$

$$H (\text{Tinggi dasar pad s.d chimney}) = 2 \text{ m}$$

Perhitungan gaya tekan dan tarik tiang ditentukan dengan persamaan sebagai berikut :

$$\boxed{P_{maks} = \frac{(\sum Pv)}{Qp} + \frac{M_x \cdot Y_{maks}}{n_y \cdot \sum y^2} + \frac{M_y \cdot X_{maks}}{n_x \cdot \sum x^2}}$$

Dimana :

$$P_{maks} : \text{Beban maksimum tiang} \dots \dots \dots \sum Pv = F_c + W_c = 1531.987 \text{ kN}$$

$$M_x : \text{Momen yang bekerja pada sumbu X} \dots \dots M_x = ((D/\tan\alpha) \cdot P) - (F_y \cdot D) = 61.67 \text{ kNm}$$

$$M_y : \text{Momen yang bekerja pada sumbu Y} \dots \dots M_y = ((D/\tan\alpha) \cdot P) - (F_x \cdot D) = 26.11 \text{ kNm}$$

$$X_{maks} : \text{Absis terjauh tiang terhadap titik berat} \dots \dots = 1.20 \text{ m}$$

$$Y_{maks} : \text{Absis terjauh tiang terhadap titik berat} \dots \dots = 1.20 \text{ m}$$

$$Q_p : \text{Jumlah tiang} = 9$$

$$n_x : \text{Banyak tiang pada sumbu x} = 3$$

$$n_y : \text{Banyak tiang pada sumbu y} = 3$$

$$\Sigma X^2 : \text{Jumlah kuadrat absis tiang} = X_{maks}^2 \times n_x = 4.32 \text{ m}^2$$

$$\Sigma Y^2 : \text{Jumlah kuadrat absis tiang} = Y_{maks}^2 \times n_y = 4.32 \text{ m}^2$$

$$\begin{aligned} P_{maks} &= \frac{\sum Pv}{Qp} + \frac{M_x \times Y_{maks}}{n_y \times \sum y^2} + \frac{M_y \times X_{maks}}{n_x \times \sum x^2} \\ &= \frac{1531,99}{9} + \frac{61,67 \times 1,20}{3 \times 4,32} + \frac{26,11 \times 1,20}{3 \times 4,32} \\ &= 178,349 \text{ kN} \end{aligned}$$

$$\begin{aligned}
 P_{\min} &= \frac{\sum P_v}{Q_p} - \frac{M_x}{n_y} \times \frac{Y_{\max}}{\sum y^2} - \frac{M_y}{n_x} \times \frac{X_{\max}}{\sum x^2} \\
 &= \frac{1531,99}{9} - \frac{61,67}{3} \times \frac{1,20}{4,32} - \frac{26,11}{3} \times \frac{1,20}{4,32} \\
 &= 162,093 \text{ kN}
 \end{aligned}$$

$$P_{\max} = 178,35 \text{ kN}$$

<  
OK

$$P_{tk} = 807,19 \text{ kN}$$

#### 4.6 Keamanan Pondasi Bored Pile Terhadap Uplift

Setelah perhitungan daya dukung tiang, stabilitas tiang dan efisiensi kelompok tiang OK, maka dilakukan perhitungan analisa keamanan pondasi bored pile terhadap uplift. Berikut perhitungannya :

Daya dukung ijin tarik pile tunggal	$P_{ta}$	= 318.270	kN
Jumlah tiang	$Q_p$	= 9	
Berat Pondasi	$W_c$	= 425,97	kN
Berat Tanah	$W_s$	= 123,98	kN
Aksial Uplift (Tension)	$T$	= 931,01	kN
Safety Factor (SF)	SF	= 2	

##### 4.6.1 Berat yang menahan gaya Uplift (Weight Uplift/Wu)

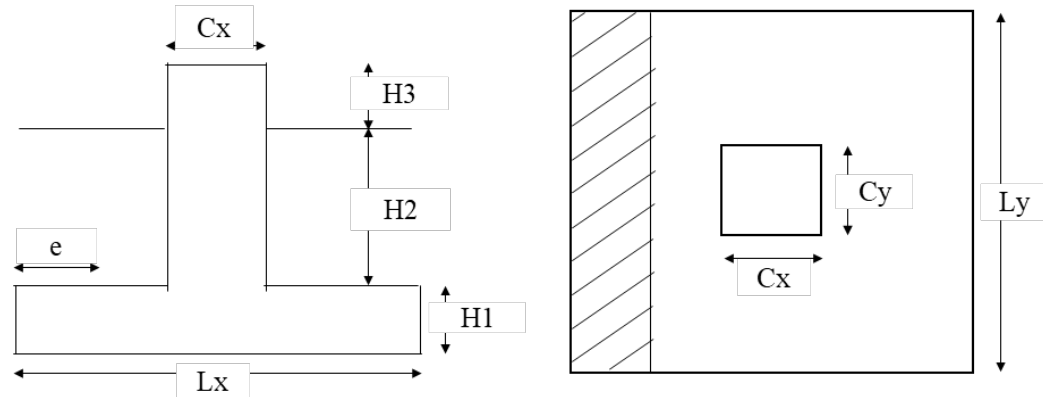
$$\begin{aligned}
 Wu &= (P_{ta} \times Q_p) + W_c + W_s \\
 &= 3414,39 \text{ kN}
 \end{aligned}$$

$$Wu/T > SF = 3,67 > 2,00 \text{ (AMAN)}$$

"Pondasi AMAN terhadap Berat yang menahan gaya angkat/uplift".

Setelah perhitungan Berat yang menahan gaya uplift, kemudian dilakukan perhitungan Kontrol geser pada Pondasi

#### 4.6.2 Kontrol Geser 1 Arah



$$\begin{aligned}
 \text{Eksentris} (e) &= \frac{1}{2} \cdot Lx - \frac{1}{2} \cdot Cx - H1 \\
 &= 0.5 \times 340 - 0.5 \times 70 - 80 \\
 &= 0.55 \text{ m}
 \end{aligned}$$

$$\begin{aligned}
 P_e &= P_{\min} + \frac{e \times (P_{\max} - P_{\min})}{Lx} \\
 &= 162,09 + \frac{0,55 \times (178,35 - 162,09)}{3,40} \\
 &= 164,7 \text{ kN/m}^2
 \end{aligned}$$

$$\begin{aligned}
 V_u &= e \times Lx \times \left( P_e + \frac{(P_{\max} - P_e)}{2} \right) \\
 &= 0,55 \times 3,40 \times (164,72 + \frac{(178,35 - 164,72)}{2}) \\
 &= 320,8 \text{ kN}
 \end{aligned}$$

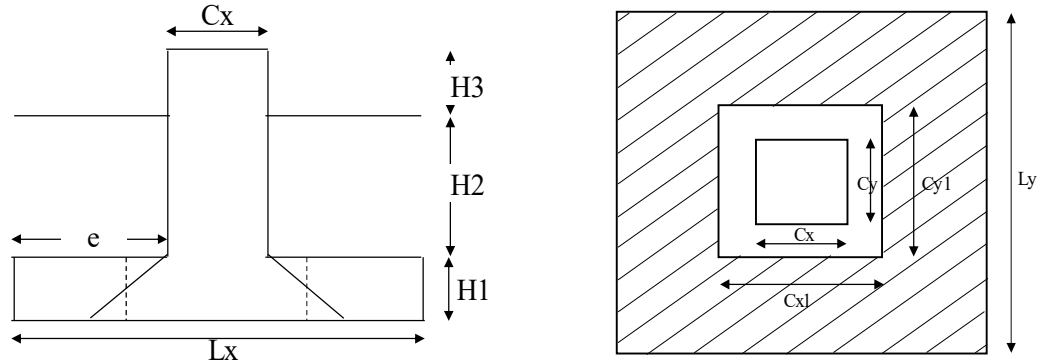
$$\begin{aligned}
 V_c &= \frac{1}{6} * \sqrt{f_{c'}} * Lx * H1 \\
 &= \frac{1}{6} \times \sqrt{18,675} \times 3400 \times 800 \\
 &= 1959061,00 \text{ N} \\
 &= 1959,06 \text{ kN}
 \end{aligned}$$

$$\Theta = 0.75$$

Gaya geser yang disebabkan oleh beban terfaktor ( $V_u$ ) harus lebih kecil dari gaya geser yang disumbangkan beton ( $\Theta \cdot V_c$ )

$$\begin{aligned} \text{Syarat } V_u &< \Theta \cdot V_c \\ &< 0,75 \times 1959,06 \\ 320,8 &< 1469,3 \\ \text{AMAN} \end{aligned}$$

#### 4.6.3 Kontrol Geser 2 Arah (Geser Pons)



Maka diketahui,

Luas Penampang

$$\begin{aligned} P_u &= F_c + W_c \\ &= 1531.99 \text{ kN} \end{aligned}$$

$$Q_p = 9$$

$$H_1 = 0.80 \text{ m}$$

##### a. Kontrol Geser 2 arah diseitar kolom

$$C_x = C_y = 0.70$$

$$C_{x1} = C_{y1} = C_x + H_1 = 1.50 \text{ m}$$

Luas penampang kritis dari atas pondasi

$$\begin{aligned} L_s &= C_{x1} \times C_{y1} \\ &= 1.50 \times 1.50 = 2.25 \text{ m}^2 \end{aligned}$$

Keliling penampang kritis/geser

$$b_0 = (2 \times C_{x1}) + (2 \times C_{y1})$$

$$= 3 + 3 = 6 \text{ m}$$

$$\beta_c = 1.00$$

Nilai konstanta

$$as = 20 \text{ (kolom sudut)}$$

$$Vu = Pu$$

$$= 1531.99 \text{ kN}$$

Gaya geser yang ditahan beton (*diambil nilai terkecil antara*)

$$\begin{aligned} Vc1 &= \left( 1 + \frac{2}{\beta c} \right) * \left( \frac{\sqrt{f_c} * bo * H1}{6} \right) \\ &= \left( 1 + \frac{2}{1} \right) * \left( \frac{\sqrt{18,675} * 6000 * 800}{6} \right) \\ &= 10371499,41 \text{ N} \\ &= 10371,50 \text{ kN} \end{aligned}$$

$$\begin{aligned} Vc2 &= \left( 2 + \frac{as * H1}{bo} \right) * \left( \frac{\sqrt{f'_c} * bo * H1}{12} \right) \\ &= 2 + \frac{20 * 800}{6000} * \left( \frac{\sqrt{18,675} * 6000 * 800}{12} \right) \\ &= 8066721,8 \text{ N} \\ &= 8066,72 \text{ kN} \end{aligned}$$

$$\begin{aligned} Vc3 &= \frac{\sqrt{f_c} * bo * H1}{3} \\ &= \frac{\sqrt{18,675} * 6000 * 800}{3} \\ &= 6914332,94 \text{ N} \\ &= 6914,33 \text{ kN} \end{aligned}$$

Maka diambil nilai terkecil antara Vc1, Vc2 dan Vc3 .....

$$\begin{aligned} Vc &= \text{Min} (Vc1 : Vc2 : Vc3) \\ &= 6.914.33 \text{ kN} \end{aligned}$$

$$\Phi = 0.75$$

Gaya geser yang disebabkan oleh beban terfaktor (Vu) harus lebih kecil dari gaya geser yang disumbangkan beton ( $\Phi \cdot Vc$ )

Syarat,

$$\begin{aligned} Vu &\leq \Phi \cdot Vc \\ 1532,0 &< 5185,7 \\ \textbf{AMAN} \end{aligned}$$

### b. Kontrol Geser 2 Arah disekitar bored pile

Keliling penampang kritis

$$\begin{aligned} S2 &= 0.50 \text{ m} \\ D &= 0.40 \text{ m} \\ b_o &= 2(D/2 + H1/2 + S2) = 2.20 \text{ m} \\ \beta_c &= 1.00 \end{aligned}$$

Nilai konstanta

$$\alpha_s = 20 \text{ (kolom sudut)}$$

Reaksi pada tiap pile

$$V_u = \frac{P_u}{Q_p} = 170.2208 \text{ kN}$$

Gaya geser yang ditahan beton (*diambil nilai terkecil antara*)

$$\begin{aligned} V_{c1} &= \left( 1 + \frac{2}{\beta_c} \right) \times \left( \frac{\sqrt{f_c} \times b_o \times H_1}{6} \right) \\ &= \left( 1 + \frac{2}{1} \right) \left( \frac{\sqrt{18,675} \times 2200 \times 800}{6} \right) \\ &= 3802883,12 \text{ N} \\ &= 3802,88 \text{ kN} \end{aligned}$$

$$\begin{aligned} V_{c2} &= \left( 2 + \frac{\alpha_s \times H_1}{b_o} \right) \times \left( \frac{\sqrt{f'_c} \times b_o \times H_1}{12} \right) \\ &= 2 + \frac{20 \times 800}{2200} \left( \frac{\sqrt{18,675} \times 2200 \times 800}{12} \right) \\ &= 5877183,0 \text{ N} \\ &= 5877,18 \text{ kN} \end{aligned}$$

$$\begin{aligned} V_{c3} &= \frac{\sqrt{f_c} \times b_o \times H_1}{3} \\ &= \frac{\sqrt{18,675} \times 2200 \times 800}{3} \\ &= 2535255,41 \text{ N} \\ &= 2535,26 \text{ kN} \end{aligned}$$

Maka diambil nilai terkecil antara  $V_{c1}$ ,  $V_{c2}$  dan  $V_{c3}$  .....

$$\begin{aligned} V_c &= \text{Min}(V_{c1} : V_{c2} : V_{c3}) \\ &= 2.535,26 \text{ kN} \end{aligned}$$

$$\Phi = 0.75$$

Gaya geser yang disebabkan oleh beban terfaktor ( $V_u$ ) harus lebih kecil dari gaya geser yang disumbangkan beton ( $\Theta \cdot V_c$ )

Syarat,

$$V_u \leq \Phi \cdot V_c$$

$$170,2 < 1901,4$$

**AMAN**

#### 4.6.4 Perhitungan Tulangan

##### a. Perhitungan tulangan tiang

Momen pada tiang pile	$M_u$	=	349.22 kNm
Beban maksimum tiang pile	$P_u$	=	178,35 kN
Diameter pile	$D$	=	400 mm
Panjang pile	$H_{p1}$	=	7000 mm
Berat jenis beton	$\rho_b$	=	24.00 kN/m <sup>3</sup>
Mutu beton K-225	$f'_c$	=	18.675 Mpa
Mutu baja U39	$f_y$	=	390 Mpa
Mutu baja U24	$f'_y$	=	240 Mpa
Tebal pedestal	$H_1$	=	800 mm
Selimut beton	$p$	=	75 mm
Diameter tulangan	$\Phi$	=	16 mm
Diameter Sengkang	$\Phi$	=	10 mm
Lebar kolom efektif	$d'$	=	$D - p - \frac{1}{2} \Phi$ tulangan
		=	317 mm
	$b$	=	1000 mm
	$\beta$	=	0.85

(i) Menentukan rasio tulangan balance dan rasio tulangan maksimum ( $\rho_b$ )

$\rho_b$  :

$$\rho_b = \frac{\left( 0.85 \times \beta_1 \times f'_c \right)}{f_y} \times \left( \frac{600}{600 + f_y} \right)$$

$$\begin{aligned}
 \rho_{\text{maks}} &= 0.75 \times \rho b \\
 &= 0.016 \\
 \rho_{\text{min}} &= \frac{1}{4} / f_y \\
 &= 0.004
 \end{aligned}$$

(ii) Menentukan luas tulangan

$$\begin{aligned}
 M_u &= k \times b \times d^2 \\
 K &= M_u / (b \times d^2) \\
 &= 0.3475 \\
 K &= 0.9 \times \rho \times f_y \\
 \rho &= K / 0.9 \times f_y \\
 &= 0.00099 < \rho_{\text{min}} = 0.0036
 \end{aligned}$$

Maka diambil,  $\rho_{\text{min}} = 0.0036$

$$\begin{aligned}
 A_{s\text{min}} &= \rho_{\text{min}} \times b \times d' \\
 &= 1137.9 \text{ mm}^2 \\
 A_s &= \frac{1}{4} \times \pi \times d'^2 \\
 &= 201.14 \text{ mm}^2
 \end{aligned}$$

Jumlah tulangan yang digunakan  $N = 8$

$$\begin{aligned}
 A_s' &= A_s \times N \\
 &= 1609.1 \text{ mm}^2 > A_{s\text{min}} = 1137.9 \text{ mm}^2
 \end{aligned}$$

**OK**

**Maka tulangan yang digunakan adalah tulangan = 8 D 16mm**

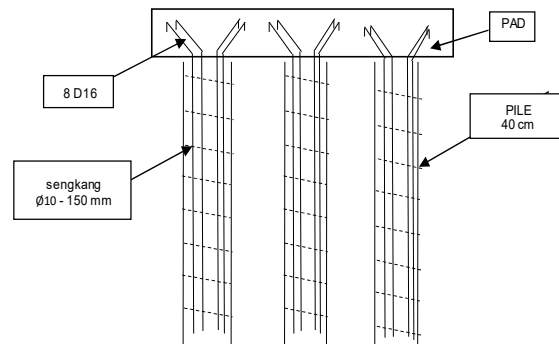
(iii) Kontrol terhadap tulangan geser

$$\begin{aligned}
 \text{Tinggi pile} & H_p = 7.00 \text{ m} \\
 \text{Jumlah pile} & Q_p = 9 \\
 F_{x_c} & = 174.61 \text{ kN} \\
 F_{y_c} & = 156.829 \text{ kN} \\
 H_{\text{maks}} & = 174.61 \text{ kN}
 \end{aligned}$$

$$\begin{aligned}
 \text{Gaya geser, } V_u & = H_{\text{maks}} / Q_p \\
 & = 19.401 \text{ kN}
 \end{aligned}$$

$$V_c = 1/6 \cdot \sqrt{f'_c} \cdot D \cdot d'$$

$$\begin{aligned}
 &= 91326.81 \quad \text{N} \\
 &= 91.33 \quad \text{kN} \\
 \Theta &= 0.8 \\
 V_n &= V_u / \Theta \\
 &= 25.868 \quad \text{kN}
 \end{aligned}$$



Kontrol  $V_u > f_{vc}$

$$\begin{aligned}
 f_{vc} &= \Theta \times V_c \\
 &= 68.495 \quad \text{kN}
 \end{aligned}$$

$V_u < f_{vc}$

*Karena  $V_u$  lebih kecil ( $<$ ) dari  $f_{vc}$ , maka tidak perlu tulangan geser*

“Maka digunakan tulangan praktis  $\varnothing 10 - 150$ ”.

### b. Perhitungan Tulangan Pad

$$\text{Mutu beton } f_c = 18.675 \quad \text{Mpa}$$

$$\text{Mutu baja } f_y = 390 \quad \text{Mpa}$$

$$\Theta \text{ Tul. Pad } D_{\text{pad}} = 19 \quad \text{mm}$$

$$\text{Selimut beton } s_b = 75 \quad \text{mm}$$

$$L_x = L_y = 3400 \quad \text{mm}$$

$$\begin{aligned}
 L_{x'} &= L_y - s_b - \frac{1}{2} \cdot D \\
 &= 3400 - 75 - 19/2 \\
 &= 3316 \quad \text{mm}
 \end{aligned}$$

$$\text{Tebal Pad } H_1 = 800 \quad \text{mm}$$

$$\begin{aligned}
 \text{Tebal efektif pad } H_1' &= H_1 - s_b - \frac{1}{2} \cdot D \\
 &= 800 - 75 - 19/2 \\
 &= 715.5 \quad \text{mm}
 \end{aligned}$$

$$\begin{aligned}
 F_a &= L_x \cdot L_y \\
 &= 11.56 \quad \text{m} \\
 X &= (1/2 \times L_x) - (1/2 \times C_x) \\
 &= 1.35 \quad \text{m}
 \end{aligned}$$

Momen yang bekerja  $\mathbf{Mu}$  =  $2 (\text{Pult}/\text{Qp}) \times (\text{H1} - (\text{D}/2))$   
 $= 204.26 \quad \text{kNm}$

$\beta_1$  = 0.85

$\Phi$  = 0.80

$\rho_b$  =  $\frac{0.85 \cdot \beta_1 \cdot f_c}{f_y} \times \frac{600}{600+f_y}$   
 $= \frac{0.85 \times 0.85 \times 18.675}{390} \times \frac{600}{600+390}$   
 $= 0.021$

$\rho_{\text{maks}}$  =  $0.75 \times \rho_b$   
 $= 0.75 \times 0.021$   
 $= 0.016$

$K$  =  $\frac{\text{Mu}}{\Phi \cdot 1000 \cdot \text{H1}^2}$   
 $= \frac{204264960}{0.80 \times 1000 \times 511940}$   
 $= 0.4999 \quad \text{Mpa}$

$m$  =  $\frac{f_y}{0.85 \cdot f_c}$   
 $= \frac{390}{0.85 \times 18.7}$   
 $= 24.569$

$K$  =  $\frac{1 \times (1 - \sqrt{1 - 2m \cdot K})}{m}$   
 $= \frac{1}{24.569} \times (1 - \sqrt{1 - 2 \times 24.569 \times 0.499})$   
 $= 0.0013$

$\rho_{\text{min}}$  = 0.0020 (SNI 03 – 2847 – 2002 Pasal 16.3.3.1)

Rasio yang dipakai  $\rho$  = 0.0020

Luas tulangan  $A_s$  =  $\rho \times L \times H$   
 $= 0.002 \times 3316 \times 715.5 = 4744.4805 \quad \text{mm}$

Luas tulangan D19  $A_{s0}$  =  $1/4 \pi D^2$   
 $= \frac{1}{4} \times (22/7) \times 19^2$   
 $= 283.642857 \quad \text{mm}$

Asumsi jarak tulangan  $s$  = 150 mm

$$\text{Luas tulangan terpakai } As = \frac{As_o \times Lx'}{s} = 6269.45 \text{ mm}$$

Kontrol                   $As > As'$   
**AMAN**

Ditemukan Kontrol tulangan Pad aman maka dipakai tulangan D19 – 150mm

### c. Perhitungan tulangan Chimney

$$\text{Momen yang bekerja } Mu = F_{\max} (F_{x_c} \text{ dan } F_{y_c}) \times H$$

$$= 174.61 \times 2.00$$

$$= 349.22 \text{ kNm}$$

$$P_{ult} = 425.97 \text{ kN}$$

$$Cx = Cy = 700 \text{ mm}$$

$$\text{Berat Jenis Beton } BJ_{\text{beton}} = 24.00 \text{ kNm}^3$$

$$\text{Mutu beton K-225 } fc' = 18.675 \text{ Mpa}$$

$$\text{Mutu Baja } fy = 390 \text{ Mpa}$$

$$\text{Selimut beton } p = 75 \text{ mm}$$

$$\phi_{tul} = 19 \text{ mm}$$

$$Cx' = Cx - p - \frac{1}{2} \phi_{tul}$$

$$= 700 - 75 - 0.5 - 19$$

$$= 615.5 \text{ mm}$$

Menurut Peraturan **SKSNI – T15-1991**, rasio antara luas tulangan dan luas kolom harus lebih besar dari 1 % (persen)

$$p = 0.0100$$

$$\begin{aligned}
 A_{st} &= \rho \cdot Cx \cdot Cx' \\
 &= 0.0100 \times 700 \times 615.5 \\
 &= 4308.5 \text{ mm}^2
 \end{aligned}$$

Luas tulangan D19,

$$\begin{aligned}
 A_{so} &= \frac{1}{4} \pi D^2 \\
 &= \frac{1}{4} \times (22/7) \times 19^2 \\
 &= 283.642857 \text{ mm}
 \end{aligned}$$

Jumlah tulangan S = 20 batang

$$\begin{aligned}
 As' &= A_{so} \times S \\
 &= 283.642857 \times 20 \\
 &= 5673 \text{ mm}^2
 \end{aligned}$$

$$\begin{array}{rcl}
 As' &>& A_{st} \\
 5673 &>& 4309 \\
 \textbf{OK}
 \end{array}$$

$$\begin{aligned}
 \text{Kontrol rasio} &= As / (Cx.Cy) \\
 &= 0.012 \\
 &= 1.158 \%
 \end{aligned}$$

*Diketahui Tulangan rasio antara luas tulangan dan luas kolom lebih besar dari 1%. Maka dipakai tulangan 20 D19*

Kontrol terhadap tulangan geser,

berdasarkan **SNI 03 – 2874 – 2002** Pasal 13.8.6

$$\phi \text{ sengkang} = 10 \text{ mm}$$

Selimut beton  $p = 75$  mm

Lebar chimney  $C_x = 700$  mm

Lebar kolom efektif,

$$b' = b - p - \frac{1}{2} \Phi \text{tulangan}$$

$$= 700 - 75 - 0.5 \times 10$$

$$= 620 \text{ mm}$$

$$V_{u \max} = F_{\max} (F_{x_c} \text{ dan } F_{y_c})$$

$$= 174.61 \text{ kN}$$

Mutu Baja  $f_y = 240$  Mpa

Mutu beton K225  $f_c' = 18.675$  Mpa

Gaya geser yang ditahan oleh beton,

$$\begin{aligned} V_c &= \frac{\sqrt{f_c' C_x} C_x'}{6} \\ &= \frac{\sqrt{18.675 \times 700 \times 620}}{6} \\ &= 312585.47 \text{ N} \\ &= 312.59 \text{ kN} \end{aligned}$$

$$A_v = 2 \times 0.25 \times \pi \times \phi \text{ Sengkang}$$

$$= 157.00 \text{ mm}$$

$$s = 200 \text{ mm}$$

$$V_s = (A_v \times f_y \times C_x') / s$$

$$= 116808 \text{ N}$$

$$= 116.81 \text{ kN}$$

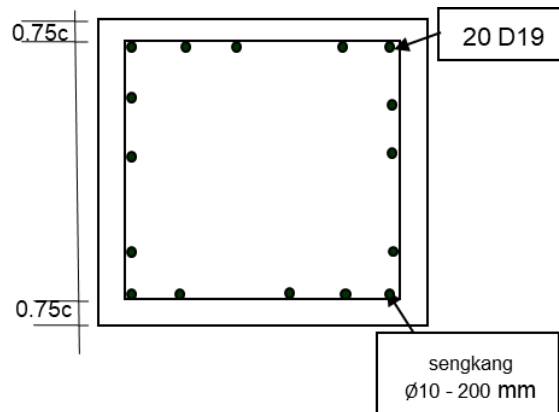
$$\Theta = 0.60$$

$$= \Theta \times (V_c + V_s)$$

$$\begin{aligned}
 &= 0.60 \times 429.4 \\
 &= 257.64 \quad \text{kN}
 \end{aligned}$$

$$\begin{aligned}
 \text{Maka, } \quad V_u &< \Theta \cdot (V_c + V_s) \\
 174,61 &< 257,64
 \end{aligned}$$

**OK**



Berdasarkan SNI 03 – 2874 – 2002 kontrol terhadap tulangan geser OK, maka tulangan Sengkang yang dipakai adalah  $\varnothing 10 – 200$  mm

## BAB V

### PENUTUP

#### 5.1 Kesimpulan

Dari hasil Analisa perhitungan dalam pembahasan yang dilakukan dapat di simpulkan sebagai berikut:

1. Hasil Perhitungan kapasitas daya dukung pondasi *bored pile* berdasarkan metode Guy Sangrelat dan Mayerhof :
  - a. Daya dukung ijin tekan (Ptk) = 807,189 kN
  - b. Stabilitas tarik (Pta) = 318,270 kN
2. Hasil perhitungan Efisiensi kelompok tiang dengan 9 tiang diperoleh sebesar 0,72689 dan Pmaks ijin kelompok tiang sebesar 5280,64 kN
3. Hasil perhitungan Gaya tekan dan tarik tiang :
  - a. Pmaks = 178,35 kN
  - b. Pmin = 162,093 kN

Gaya tekan dan tarik tiang **Aman (OK)**

$$P_{maks} < P_{tk} = 178,35 \text{ kN} < 807,189 \text{ kN}$$

4. Hasil perhitungan keamanan pondasi terhadap Uplift adalah :
  - a. Berat yang menahan gaya angkat dibagi Berat tanah ( $W_u/T$ ) adalah  $3414,39 \text{ kN}/931,01 \text{ kN} = 3,67$ . Berat yang menahan gaya angkat **AMAN (OK)** karena lebih besar dari Faktor Kemanan ( $SF=2$ )  $= 3,67 > 2$
  - b. Kontrol Geser 1 Arah **AMAN (OK)**  
 $V_u < \Theta \cdot V_c = 320,8 < 1469,3$
  - c. Kontrol Geser 2 Arah sekitar kolom **AMAN (OK)**  
 $V_u < \Theta \cdot V_c = 1532,0 < 5185,7$
  - d. Kontrol Geser 2 Arah sekitar pile **AMAN (OK)**  
 $V_u < \Theta \cdot V_c = 170,2 < 1901,4$

## **5.2 Saran**

1. Penelitian ini dapat dilakukan menggunakan pendekatan rumus-rumus lainnya seperti metode De Alencar dan Aoki untuk mengetahui perbandingan Analisa perhitungan terkait efisiensi perencanaan pondasi tower
2. Penulis menyarankan agar tulisan ini dapat dikembangkan mengingat Pekerjaan pondasi tower saluran udara tegangan tinggi merupakan yang pertama di Provinsi Papua Barat

## **DAFTAR PUSTAKA**

Bowles, J.E. “*Analisa dan Desain Pondasi, edisi keempat Jilid I*”. Erlangga, Jakarta, 1991

Bowles, J.E. “*Analisa dan Desain pondasi, edisi keempat Jilid II*”. Erlangga, Jakarta, 1992

Braja M.Das, “*Mekanika Tanah 1*”, Erlangga, Jakarta, 1998

Braja M.Das, ”*Mekanika Tanah 2*”, Erlangga, Jakarta, 1998

Braja, M.Das, “*Principles of Geotechnical Engineering*” PWS Engineering, Boston, 1990

Hardiyanto,H.C. “*Teknik Pondasi 2 edisi kedua*”. Beta Offset, Yogyakarta, 2002

Sardjono, H.S. “*Pondasi Tiang Pancang, Jilid II*”. Sinar Jaya Wijaya, Surabaya, 1996

Dirjen Binamarga. “*Pedoman Konstruksi dan Bangunan No. 003-01/BM/2006 PU*”. Departemen PU, Jakarta, 2009

PT PLN Pusat Enjiniring Ketenagalistrikan. “*BUKU I Tower 150kV TYPE DD 2xZebra (2x450-SA1A-54/7)*”. Lembaga Teknologi Fakultas Tenik Universitas Indonesia, Jakarta, 2017

<https://theconstructor.org/>